

УТВЕРЖДАЮ

Первый заместитель генерального
директора АО «Ангстрем»

Н.И. Пlius

« 30 » 03 2023 г.

МИКРОСХЕМА ИНТЕГРАЛЬНАЯ

К1496УА024

СПРАВОЧНЫЙ ЛИСТ

ПАКД.431136.018Д1

Инв. № подл.	Подл. и дата	Взам. инв №	Инв. № дубл	Подп. и дата
408974	30.04.23			

Главный конструктор ОКР

Е.А. Трудновская

« 30 » 03 2023 г.

**НАЗНАЧЕНИЕ, СХЕМО-ТЕХНОЛОГИЧЕСКОЕ ИСПОЛНЕНИЕ.
ОБЛАСТЬ ПРИМЕНЕНИЯ**

Микросхемы К1496УА024 (далее – микросхемы) представляют собой быстродействующие операционные усилители (далее – ОУ), изготовленные по высоковольтному биполярному процессу на эпитаксиальной структуре со скрытыми слоями, одним слоем поликремния и одним слоем металла с минимальными топологическими нормами 3 мкм с р-МОП входными транзисторами, которые обеспечивают высокое входное сопротивление, низкий входной ток и работу ОУ при потенциале синфазного входного напряжения равном потенциалу вывода земли ОУ при однополярном применении, либо потенциалу отрицательного вывода питания ОУ при двухполярном режиме работы (функциональный аналог СА3140).

ОУ работают при номинальном напряжении питания 5 В в однополярном режиме или ± 15 В в двухполярном режиме. ОУ, имеют встроенную частотную коррекцию, которая даёт возможность использовать ОУ в схемах включения с коэффициентом «+1» и имеют выход для дополнительного внешнего конденсатора частотной коррекции для тех случаев, когда необходимо понизить частоту. Предусмотрены входы компенсации напряжения смещения нуля.

ОУ К1496УА024 могут использоваться в схемах усиления сигналов с различных датчиков и во всех традиционных схемах с использованием операционных усилителей, от однополярного источника питания. ОУ можно питать напрямую от стандартного 5-тивольтового блока питания, который обычно используется в цифровых схемах, без необходимости добавлять дополнительный двухполярный источник на ± 5 В.

Предприятие-разработчик и изготовитель – АО «Ангстрем».

Количество элементов в схеме для микросхем – 102.

Конструктивное исполнение микросхем К1496УА024 в металлополимерном корпусе 4303.8-В, рисунок 1.

Микросхемы предназначены для использования в радиоэлектронной аппаратуре в диапазоне температур окружающей среды от минус 45 до 85 °С.

Условное графическое обозначение микросхемы приведено на рисунке 2.

Нумерация, обозначение и назначение выводов микросхемы приведены в таблице 1.

Перв. примен.

ПАКД.431136.018

Справ. №

Подп. и дата

Инв. № дубл.

Взам. Инв. №

Подп. и дата

Зачин 25.04.23

Инв. № подл.

108984

					ПАКД.431136.018Д1			
Изм.	Лист	№ докум.	Подп.	Дата	Микросхемы интегральные К1496УА024 Справочный лист	Лит.	Лист	Листов
Разраб.		Лапшина	<i>[Подпись]</i>	<i>04.04.23</i>		A	2	54
Пров.		Воробьев	<i>[Подпись]</i>	<i>04.04.23</i>				
Н.контр.		Дронов	<i>[Подпись]</i>	<i>04.04.23</i>				
						АО «Ангстрем»		

КОНСТРУКТИВНОЕ ИСПОЛНЕНИЕ

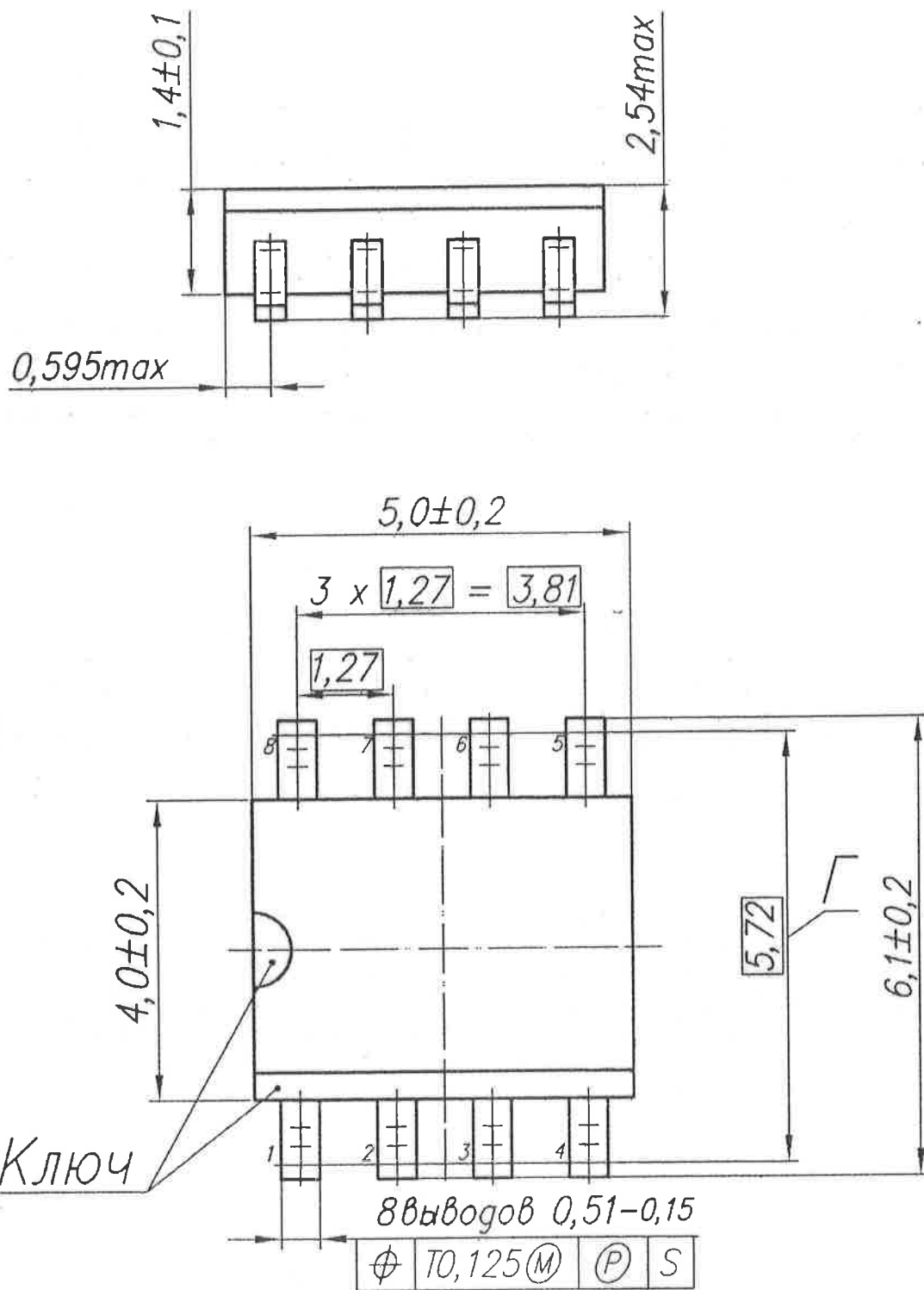


Рисунок 1 – Конструктивное исполнение микросхем K1496UA024 в корпусе 4303.8-B

Инв. № подл.	Подп. и дата	Взам. Инв. №	Инв. № дубл	Подп. и дата
108974	Буча 25.04.23			

Изм.	Лист	№ докум	Подп.	Дата

ПАКД.431136.018Д1

Лист
3

ВНЕШНИЕ ВОЗДЕЙСТВУЮЩИЕ ФАКТОРЫ

Климатические воздействия по ГОСТ 18725, в том числе:

- пониженная рабочая температура средыминус 45 °С;
- повышенная рабочая температура среды 85 °С;
- повышенная предельная температура среды 125 °С;
- изменение температуры среды в пределах от минус 60 °С до 125 °С.

Требования к устойчивости к воздействию соляного тумана, плесневых грибов, электростатической пыли, повышенного и пониженного давления, герметичности, вибрации, ударов и по определению резонансных частот не предъявляются.

Инв. № подл.	Подп. и дата	Взам. Инв. №	Инв. № дубл.	Подп. и дата					
108974	Юрич 25.04.23								
Изм.	Лист	№ докум.	Подп.	Дата	ПАКД.431136.018Д1				
					Лист				
					4				

Статический ток в каскаде эмиттерного повторителя (Q_{17} Q_{18}) задаётся транзисторами (Q_{14} Q_{15}), базовые токи которых согласованы с током, протекающим через диод D_2 в схеме задания режимного тока. Когда через выход ОУ ток уходит в нагрузку, транзистор Q_{18} выполняет роль эмиттерного повторителя для прокачки тока от вывода положительного источника питания через элементы D_7 , R_9 , и R_{11} . При этом потенциал коллектора транзистора Q_{13} достаточно высок, чтобы обеспечить током эмиттерный повторитель на транзисторе Q_{17} , который в свою очередь управляет Q_{18} . Когда ток попадает в ОУ через выход с нагрузки, этот ток уходит через транзистор Q_{16} . Ток через транзистор Q_{16} согласован с током, протекающим через D_6 и R_7 , источником тока для которых, являются элементы Q_{21} , R_{12} , и Q_{20} . Транзистор Q_{20} в свою очередь, управляется током базы через R_{13} , а так же последовательно включенными стабилитроном D_8 , и резистором R_{14} . Динамический ток потребления задаётся цепью контроля потенциала выхода. Для пояснения примем, что выход стабилизирован на потенциале равном половине разности потенциалов между выводами U_{CC1} и U_{CC2} . Когда требуется, чтобы ток протекал из внешней нагрузки через выход ОУ, на коллекторе Q_{13} формируется более низкий потенциал чем в состоянии покоя, таким образом, при помощи транзисторов Q_{17} и Q_{18} происходит понижение выходного напряжения. Таким образом, на затвор р-МОП транзистора Q_{21} приходит низкий потенциал, что уменьшает сопротивление его канала. Как следствие, происходит постепенное увеличение тока через Q_{20} , R_{12} , Q_{21} , D_6 и R_7 и увеличивается ток базы Q_{16} . В результате, Q_{16} пропускает больше тока от вывода б (выхода) в ответ на постепенное изменение выходного напряжения транзистором Q_{18} . Этот ток протекает независимо от нагрузки, в случае нехватки тока по выводу б, ток будет обеспечиваться эмиттерным повторителем, реализованным на транзисторе Q_{18} . Защита от короткого замыкания выходной цепи ОУ обеспечивается транзистором Q_{19} , который открывается при большом падении напряжения на резисторе R_{11} в условиях короткого замыкания. При этом через коллектор транзистора Q_{19} отводит ток от транзистора Q_4 , что уменьшает базовый ток транзистора Q_{17} , тем самым, ограничивая ток через транзистор Q_{18} на закороченный выход.

СХЕМА ЗАДАНИЯ РЕЖИМНЫХ ТОКОВ

Ток покоя всех каскадов (кроме динамического режима) зависит от опорного тока, протекающего через резистор R_1 . Задача схемы задания режимных токов – установить и поддерживать постоянный ток через D_1 , Q_6 , Q_8 и D_2 . D_1 диод, подключенный к зеркально соединённым транзисторам Q_1 , Q_2 и Q_3 , параллельно переходу эмиттер-база. D_1 можно рассматривать как токоизмерительный диод, который отслеживает ток эмиттера транзистора Q_6 и автоматически регулирует базовый ток Q_6 (при помощи Q_1), для достижения постоянного тока через Q_6 , Q_8 , D_2 . Базовый ток транзисторов Q_2 и Q_3 так же задаётся постоянным током D_1 . Более того, ток через диод D_2 , задаёт ток через транзисторы Q_{14} , и Q_{15} .

Инв. № подл.	108974	Подп. и дата	Бучел 15.01.23	Взам. Инв. №		Инв. № дубл.		Подп. и дата	
Изм.	Лист	№ докум.	Подп.	Дата	ПАКД.431136.018Д1				Лист
									7

ТИПОВОЕ ПРИМЕНЕНИЕ

Хорошие динамические входные и выходные характеристики с высоким входным сопротивлением, достигнуты в микросхемах за счёт использования уникального биполярного процесса с Р-МОП транзисторами. Диапазон входных синфазных напряжений согласован с диапазоном выходных напряжений, что позволяет работать при напряжениях питания до 4 В.

Соблюдение этих параметров в диапазоне частот обеспечивает пригодность микросхемы для многих применений при использовании однополярного питания, для примера – когда один из входов имеет потенциал ниже потенциала вывода 4 (вывода отрицательного напряжения питания) и необходимо следить за изменением сигнала – наиболее важное свойство при использовании в качестве компаратора.

Хорошую совместимость с сигналами ТТЛ логики можно достичь с помощью стабилитрона в 6,2 В, подключенного между выводами 8 и 4. Такое включение приведет к тому, что максимальное выходное напряжение не превысит значение обратного напряжения стабилитрона минус 2 перехода база-эмиттер. Эти ограничения не зависят от напряжения питания.

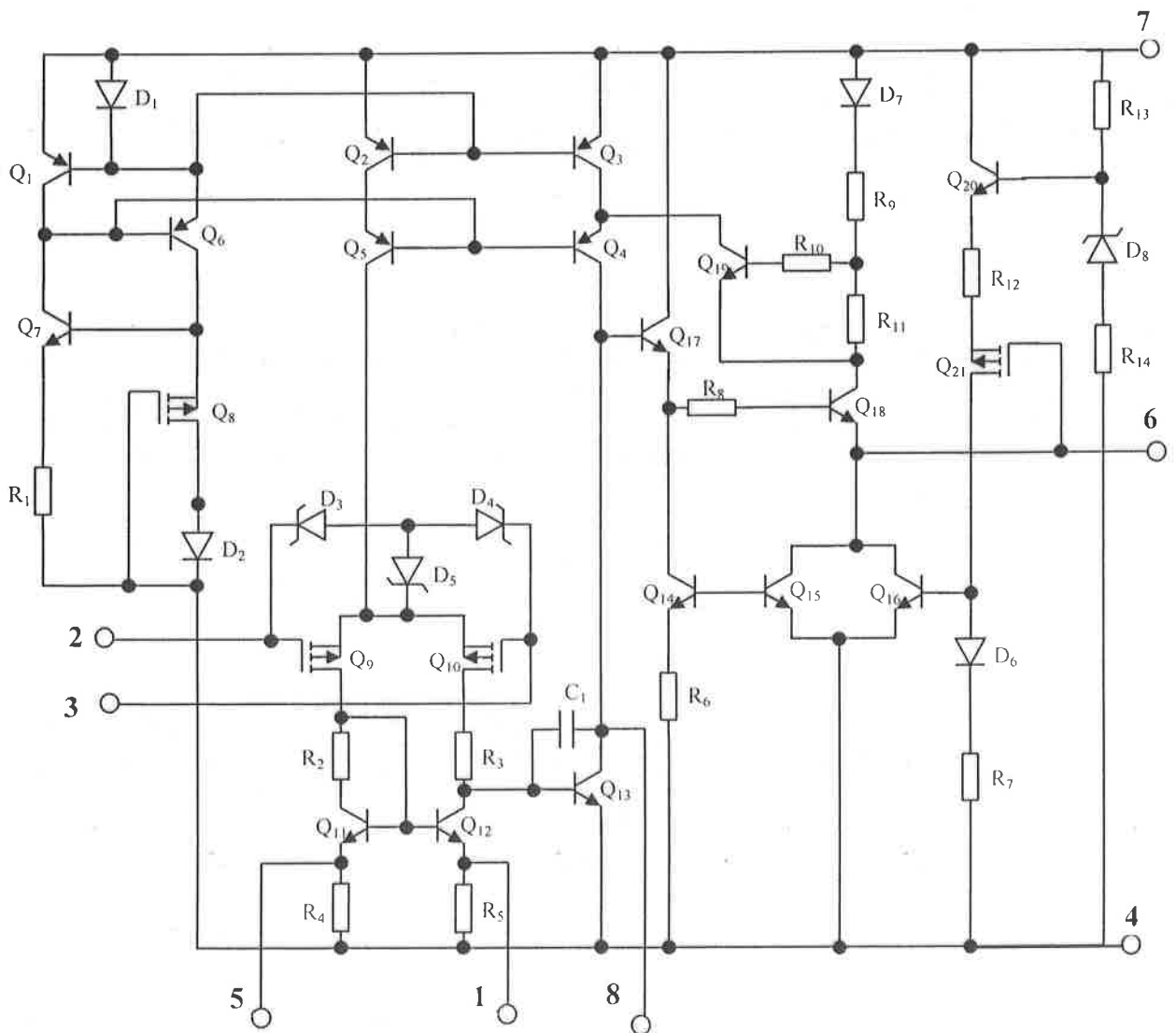


Рисунок 3 – Схема электрическая принципиальная

Инв. № подл.	108974
Подп. и дата	Бурдakov 25.04.23
Взам. Инв. №	
Инв. № дубл.	
Подп. и дата	

Изм.	Лист	№ докум.	Подп.	Дата

ПАКД.431136.018D1

Лист
8

ОСНОВНЫЕ ХАРАКТЕРИСТИКИ

Диапазон рабочих температур К1496УА024 от $-45\text{ }^{\circ}\text{C}$ до $+85\text{ }^{\circ}\text{C}$.

Для микросхемы К1496УА024 напряжение питания в однополярном режиме U_{CC1} должно быть от плюс 4,5 В до плюс 5,5 В ($U_{CC2} = 0\text{ В}$), в двухполярном режиме напряжение питания U_{CC1} должно быть от плюс 13,5 В до плюс 16,5 В и U_{CC2} должно быть от минус 16,5 В до минус 13,5 В.

Электрические параметры микросхем при приемке и поставке должны соответствовать нормам, приведенным в таблице 2.

Электрические параметры микросхемы изменяющиеся в течение наработки до отказа и гамма-процентного срока сохраняемости должны соответствовать нормам, приведенным в таблице 3. Остальные параметры должны соответствовать нормам при приемке и поставке, приведенным в таблице 2.

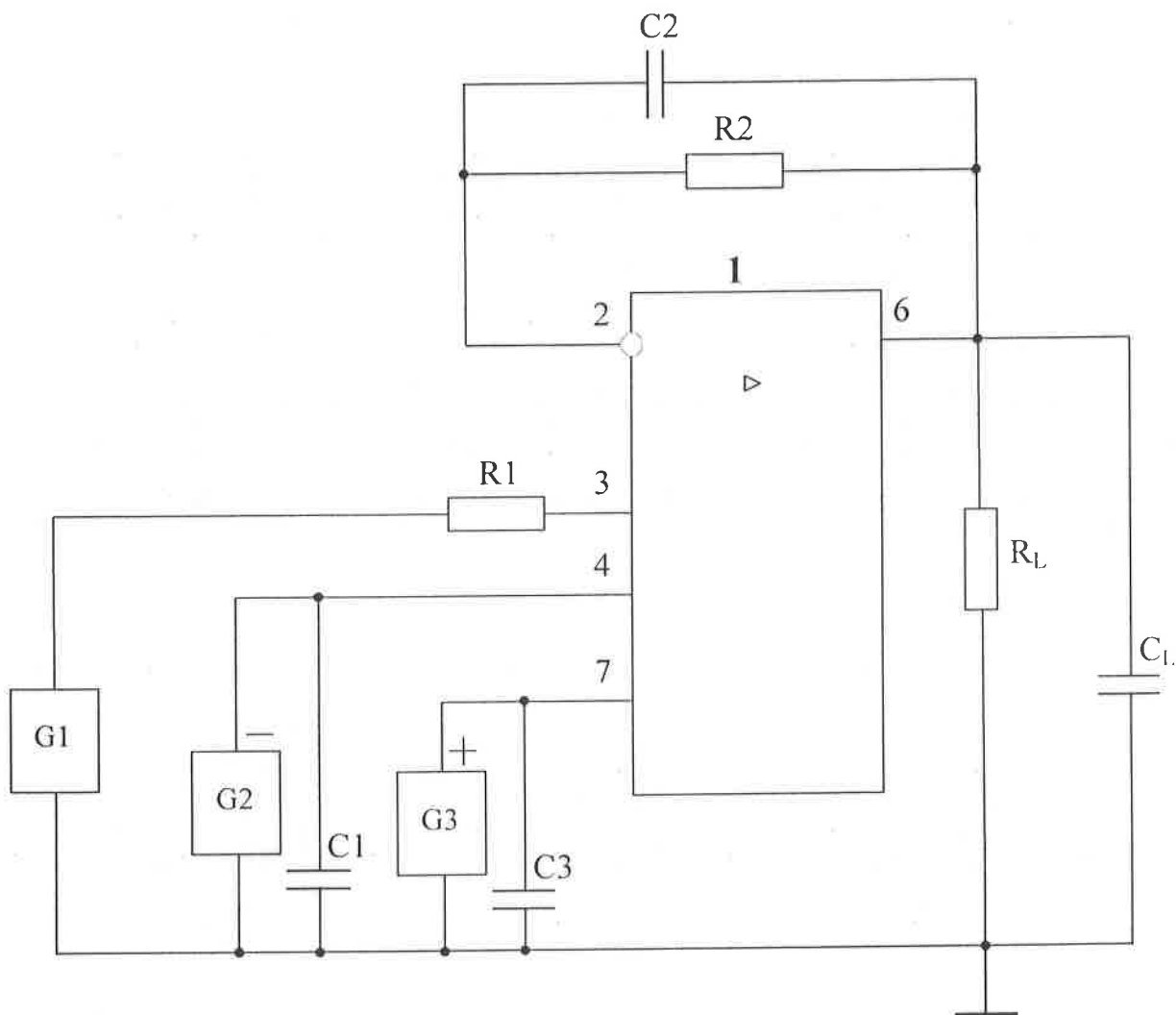
Предельно-допустимые и предельные значения параметров электрических режимов эксплуатации микросхемы в диапазоне температур среды приведены в таблице 4.

Порядок подачи и снятия напряжений питания U_{CC1} , U_{CC2} и входных сигналов U_1 на микросхемы должен быть следующим:

- при включении на микросхемы сначала подают напряжение питания U_{CC2} , затем U_{CC1} , а после этого подают входные сигналы U_1 или входные сигналы U_1 подают одновременно с напряжениями питания;

- при выключении сначала снимают входные сигналы U_1 , затем напряжение питания U_{CC1} , после этого снимают напряжение питания U_{CC2} или снимают входные сигналы U_1 одновременно с напряжениями питания.

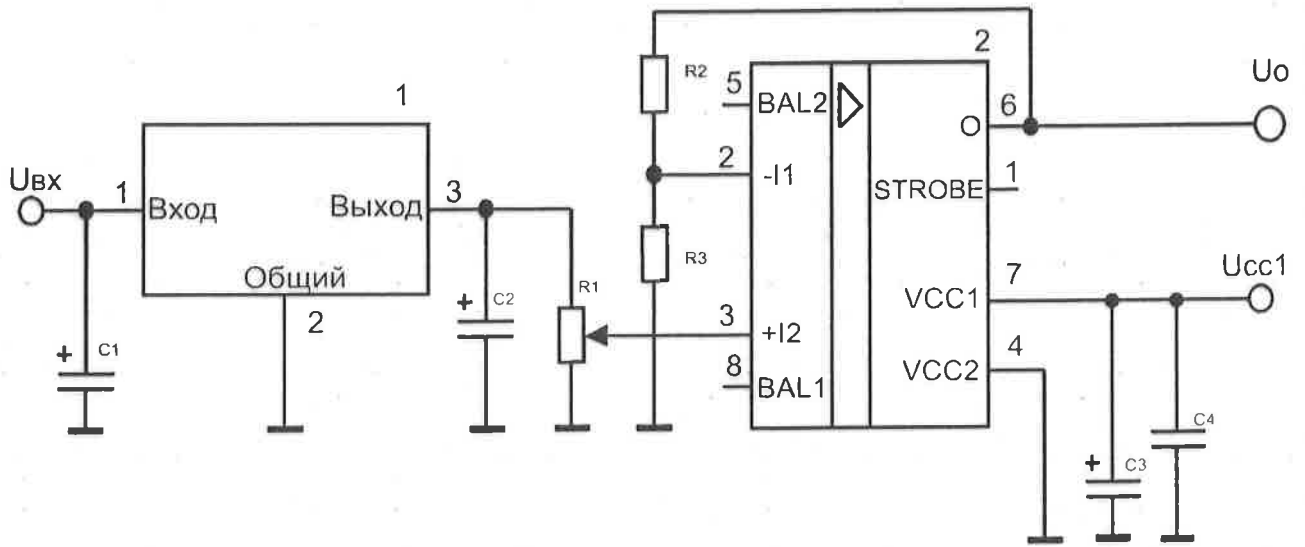
Инв. № подл.	Подп. и дата	Взам. Инв. №	Инв. № дубл.	Подп. и дата					
108994	Суров 25.04.83								
Изм.	Лист	№ докум.	Подп.	Дата	ПАКД.431136.018Д1				
					Лист				
					9				



- 1 – микросхема К1496УА024;
 G1 – источник переменного напряжения;
 G2 – источник постоянного напряжения $U_{CC2} = -15 \text{ В} \pm 1 \%$;
 G3 – источник постоянного напряжения $U_{CC1} = 15 \text{ В} \pm 1 \%$;
 C1, C3 = 0,1 мкФ $\pm 20 \%$, 25 В;
 C2 = 50 нФ $\pm 20 \%$, 50 В;
 C_L = 100 пФ $\pm 20 \%$, 50 В;
 R1 = 10 кОм $\pm 5 \%$, 0,25 Вт;
 R2 = 2 кОм $\pm 5 \%$, 0,25 Вт;
 R_L = 2 кОм $\pm 5 \%$, 0,25 Вт.

Рисунок 4 – Типовая схема включения микросхемы К1496УА024
 в качестве повторителя напряжения

Инв. № подл.	108974	Подп. и дата	Бирюк 15.04.23	Взам. Инв. №		Инв. № дубл.		Подп. и дата	
Изм.		Лист		№ докум.		Подп.		Дата	
ПАКД.431136.018Д1									Лист
									10



- 1 – микросхема КРЕН142ЕН5А
 2 – микросхема 1496УА025;
 $C1 = 2,2 \text{ мкФ} \pm 20\%$, 50 В;
 $C2 = 1 \text{ мкФ} \pm 20\%$, 50 В;
 $C3 = 10 \text{ мкФ} \pm 20\%$, 50 В;
 $C4 = 0,1 \text{ мкФ} \pm 20\%$, 50 В;
 $R1$ – переменный резистор 10 кОм, $P=0,125 \text{ Вт}$;
 $R2 = 40 \text{ кОм}$, $\pm 1\%$, $P=0,125 \text{ Вт}$;
 $R3 = 10 \text{ кОм}$, $\pm 1\%$, $P=0,125 \text{ Вт}$;
 $U_{вх}$ – входное напряжение $12 \text{ В} \pm 10\%$;
 U_o – выходное напряжение;
 $U_{сс1} = 30 \text{ В} \pm 5\%$;

Рисунок 5 – Типовая схема включения микросхем К1496УА024 в качестве регулируемого источника напряжения до 25 В.

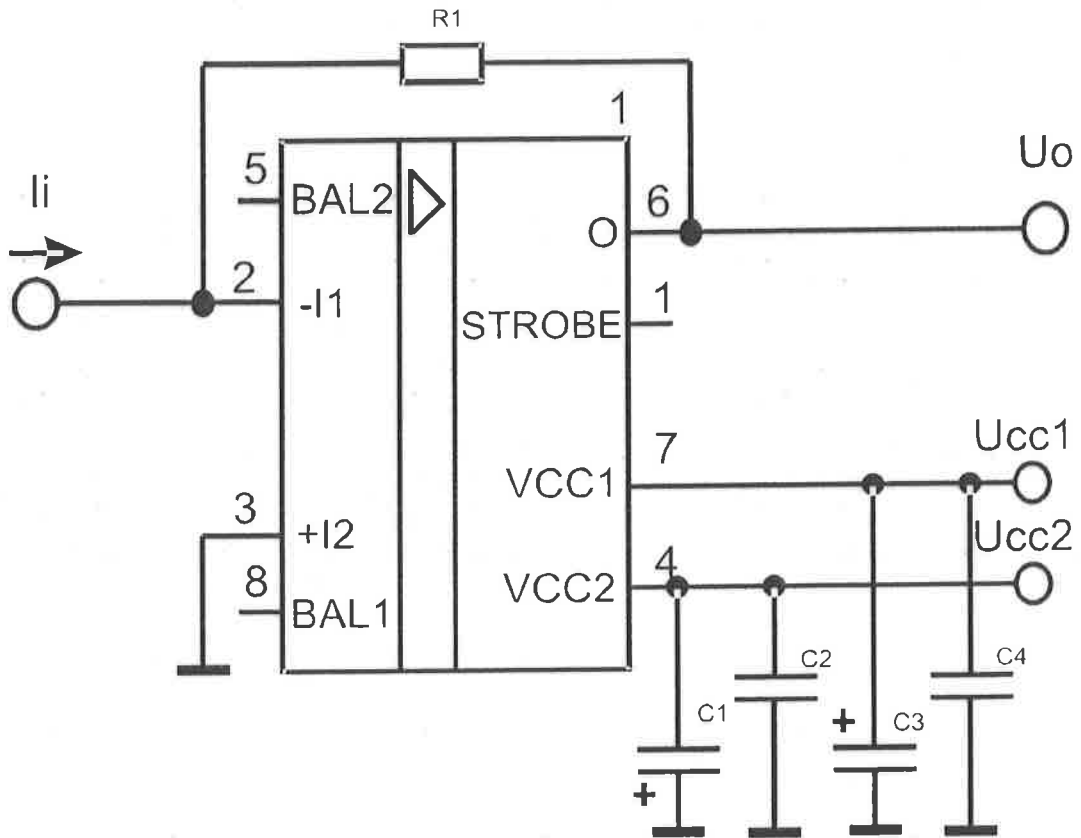
Инв. № подл.	Подп. и дата	Взам. Инв. №	Инв. № дубл.	Подп. и дата
108994	Буряк 25.04.23			

Изм.	Лист	№ докум.	Подп.	Дата

ПАКД.431136.018Д1

Лист

11



1 – микросхема К1496УА024;

C1, C3 = 10 мкФ ±20%, 50 В;

C2, C4 = 0,1 мкФ ±20%, 50 В;

R1 – резистор выбирается согласно примечания с точностью ±1%, P = 0,125 Вт;

Ii – входной ток;

Uo – выходное напряжение;

Ucc1 = +15 В ±5%;

Ucc2 = -15 В ±5%.

Примечание: Резистор R1 выбирается исходя из необходимого выходного напряжения, определяемого по формуле $U_o = I_i \cdot R_1$

Рисунок 6 – Типовая схема включения микросхем К1496УА024 в качестве преобразователя ток – напряжение.

Инв. № подл.	108974
Подп. и дата	Богачев 25.04.23
Взам. Инв. №	
Инв. № дубл.	
Подп. и дата	

Изм.	Лист	№ докум.	Подп.	Дата

ПАКД.431136.018Д1

Лист

12

Инв. № подл.	Подп. и дата	Взам. инв. №	Инв. № дубл.	Подп. и дата
408974	Будал 15.04.13			

Т а б л и ц а 2 – Электрические параметры микросхем при приемке и поставке

Наименование параметра, единица измерения	Буквенное обозначение параметра	Норма параметра		Режим измерения		Температура, °С	
		не менее	не более	Напряжение питания, В	Сопровождение нагрузки R _L , кОм		
1	2	3	4	U _{исс1}	U _{исс2}	7	
1 Максимальное выходное напряжение, В	U _{омах}	12,0	-13,5	15,0	-15,0	2	25±10
		2,6	0,2	5,0	0		-45
		11,5	-13,5	15,0	-15,0		85
		2,2	0,3	5,0	0		25±10
		11,5	-13,5	15,0	-15,0		85
2 Напряжение смещения нуля, мВ	U _ю	2,2	0,3	5,0	0	2	25±10
		-2,0	2,0	16,5	-16,5		-45
		-2,0	2,0	5,0	0		85
		-3,0	3,0	16,5	-16,5		25±10
		-3,0	3,0	5,0	0		-45
3 Максимальное синфазное входное напряжение, В	U _{исмах}	-3,0	3,0	16,5	-16,0	2	85
		-3,0	3,0	5,0	0		25±10
		11,0	-15,0	15,0	-15,0		-45
		2,0	0	5,0	0		85
		11,0	-15,0	15,0	-15,0		25±10
4 Входной ток, пА	I _и	2,0	0	5,0	0	2	85
		-45,0	45,0	15,0	-15,0		25±10
		-40,0	40,0	5,0	0		-45
		-45,0	45,0	15,0	-15,0		85
		-40,0	40,0	5,0	0		25±10
5 Разность входных токов, пА	I _ю	-900,0	900,0	15,0	-15,0	2	85
		-750,0	750,0	5,0	0		25±10
		-30,0	30,0	15,0	-15,0		-45
		-30,0	30,0	5,0	0		85
		-30,0	30,0	15,0	-15,0		25±10
		-30,0	30,0	5,0	0	2	-45
		-500,0	500,0	15,0	-15,0		85
		-400,0	400,0	5,0	0		

ПАКД.431136.018Д1

Лист
13

Инв. № подл. 108974	Подп. и дата Бучел 25.04.23	Взам. инв. №	Инв. № дубл.	Подп. и дата
------------------------	--------------------------------	--------------	--------------	--------------

Продолжение таблицы 2

1	2	3	4	5	6	7	8
6 Ток потребления, мА	I_{CC1} (I_{CC2})	-	6,0	16,5	-16,5		25±10
		-	3,6	5,0	0		
		-	6,0	16,5	-16,5	2	-45
		-	3,6	5,0	0		
		-	6,0	16,5	-16,5		85
		-	3,6	5,0	0		
7 Ток по выводу, подтягивающему выходное напряжение к низкпотенциальному состоянию, мкА	I_{STRIBE}	-	400,0	15,0	-15,0	2	25±10
8 Коэффициент усиления напряжения	Au	20 000	-	15,0	-15,0		25±10
		14 000	-	5,0	0		
		10 000	-	15,0	-15,0	2	-45
		10 000	-	5,0	0		
		20 000	-	15,0	-15,0		85
		14 000	-	5,0	0		
9 Нормированная электродвижущая сила шума, нВ / $\sqrt{\Gamma\text{ц}}$, при $f = 10 \Gamma\text{ц}$, при $f = 5 \text{ к}\Gamma\text{ц}$	E_{NN}	-	50,0	15,0	-15,0	2	25±10
		-	25,0	15,0	-15,0		
10 Частота единичного усиления, МГц	f_1	2,0	-	15,0	-15,0	2	25±10
11 Коэффициент ослабления синфазных входных напряжений, дБ	K_{CMR}	75,0	-	15,0	-15,0		25±10
		72,0	-	5,0	0		
		72,0	-	15,0	-15,0	2	-45
		70,0	-	5,0	0		
		72,0	-	15,0	-15,0		85
		70,0	-	5,0	0		
12 Коэффициент влияния нестабильности источника питания на напряжение смещения нуля, дБ	K_{SVR}	80,0	-	15,0	-15,0	2	25±10
		80,0	-	15,0	-15,0		-45
		80,0	-	15,0	-15,0		85

ПАКД.431136.018Д1

Инв. № подл.	Подп. и дата	Взам. инв. №	Инв. № дубл.	Подп. и дата
108974	Сучев 15.04.13			

Продолжение таблицы 2

1	2	3	4	5	6	7	8
13 Максимальная скорость нарастания выходящего напряжения, В/мкс	$S_{ном}$	7,0	-	15,0	-15,0	2	25±10
14 Температурный коэффициент напряжения смещения нуля, мкВ/°С	$\alpha U_{ю}$	-6,0	6,0	15,0	-15,0	2	25±10
		-6,0	6,0	15,0	-15,0		-45
		-6,0	6,0	15,0	-15,0		85
15 Температурный коэффициент разности входных токов, пА/°С	$\alpha I_{ю}$	-0,1	0,1	15,0	-15,0	2	от 25 до -45
		-5,0	5,0				от 25 до 85

П р и м е ч а н и е – Режимы измерения электрических параметров приведены в таблице 5 АДКБ.431130.475ТУ.

Изм.	Лист	№ докум.	Подп.	Дата

ПАКД.431136.018Д1

Лист
15

Инв. № подл.	Подп. и дата	Взам инв. №	Инв. № дубл.	Подп. и дата
108974	Бучел 26.04.23			

Т а б л и ц а 3 – Электрические параметры микросхемы К1496УА024 изменяющиеся в течение наработки до отказа и гамма-процентного срока сохранности

Наименование параметра, единица измерения	Буквенное обозначение параметра	Норма параметра		Режим измерения		Температура, °С
		не менее	не более	Напряжение питания, В	Сопротивление нагрузки R _L , кОм	
1 Напряжение смещения нуля, мВ	U _Ю	-3	3	U _{CC1} 16,5	2	25±10
		-4,5	4,5	16,5		-45
		-4,5	4,5	16,5		85
2 Входной ток, пА	I ₁	-200,0	200,0	15,0	2	25±10
3 Разность входных токов, пА	I _Ю	-150,0	150,0	15,0	2	25±10
4 Ток потребления, мА	I _{CC1} (I _{CC2})	-	6,6	15,0	2	25±10
		-	6,6	15,0		-45
		-	6,6	15,0		85
5 Коэффициент усиления напряжения	Au	16 000	-	15,0	2	25±10
		8 000	-	15,0		-45
		8 000	-	15,0		85

Инд. № подл.	Подп. и дата	Взам инв №	Инд. № дубл	Подп. и дата
1088974	Бочур 15.04.23			

Т а б л и ц а 4 – Предельно-допустимые и предельные значения параметров электрических режимов эксплуатации микросхемы К1496УА024 в диапазоне рабочих температур

	Наименование параметра режима, единица измерения	Буквенное обозначение параметра	Предельно – допустимый режим		Предельный режим	
			не менее	не более	не менее	не более
1	Напряжение питания в однополярном режиме, В	U_{CC1}	4,5	5,5	3,3	35,0
2	Напряжение питания в двухполярном режиме, В	U_{CC1} U_{CC2}	13,5 -16,5	16,5 -13,5	3,0 -17,5	17,5 -3
3	Синфазные входные напряжения, В, - в однополярном режиме - двухполярном режиме	U_{IC}	0	$(U_{CC1}-2,8)$ $(U_{CC1}-4)$	-0,5	U_{CC1} U_{CC1}
4	Дифференциальное входное напряжение, В	U_{ID}	-4,0	4,0	-7,0	7,0
5	Сопротивление нагрузки, кОм	$R_L^{1)}$	2	-	1	-

¹⁾ Допускается режим КЗ на выходе микросхемы. Длительность режима КЗ не более 5с.

Изм	Лист	№ докум	Подп	Дата

ПАКД.431136.018Д1

НАДЕЖНОСТЬ

Наработка микросхем в режимах и условиях, допускаемых настоящими ТУ, должна быть не менее 50 000 ч и не менее 60 000 ч в следующем облегчённом режиме $T = (25 \pm 10) \text{ } ^\circ\text{C}$.

- Интенсивность отказов в течение наработки должна быть не более $1 \cdot 10^{-6}$ 1/ч.
- Гамма-процентный срок сохраняемости при $\gamma = 95 \%$ – 10 лет.

Инв. № подл.	Подп. и дата	Взам. Инв. №	Инв. № дубл	Подп. и дата					
+08994	Бучи 25.04.23								
Изм.	Лист	№ докум.	Подп.	Дата	ПАКД.431136.018Д1				
					Лист				
					18				

Цоколёвка выводов предусматривает соседнее расположение входных выводов рядом с выводами, служащими для подачи напряжения питания. Поэтому необходимо предусмотреть меры защиты от токов утечки, обусловленных разностью потенциалов между входами и соседними токоулавливающими шинами.

Устанавливать и извлекать микросхемы из контактных приспособлений, а также производить замену микросхем необходимо только при снятии напряжений со всех выводов микросхемы.

Для минимизации паразитного влияния на ОУ с пикоаперными входными токами со стороны других элементов в аппаратуре заказчика допускается использование следующих приемов при проектировании устройств:

- осуществлять локальную экранировку корпуса металлическим экраном со стороны крышки и с обратной стороны микросхемы, со стороны печатной платы допускается заменить экран на сплошной слой меди в одном из слоев платы (полигон без перфорации) или с обратной стороны платы;

- использовать при пайке неактивные флюсы (спирт-канифоль) с контролем качества отмывки. Финишной операцией предусмотреть протирку безводным изопропиловым спиртом;

- при разводке платы окружать входные цепи охранными кольцами, эквипотенциальными входному синфазному напряжению операционного усилителя в применяемой схеме включения; допускается осуществлять подключение охранных колец ко входу ОУ, несоединенному с сигнальным выводом в применяемой схеме включения (это может приводить к увеличению входной паразитной емкости цепи и служить источником самовозбуждения ОУ);

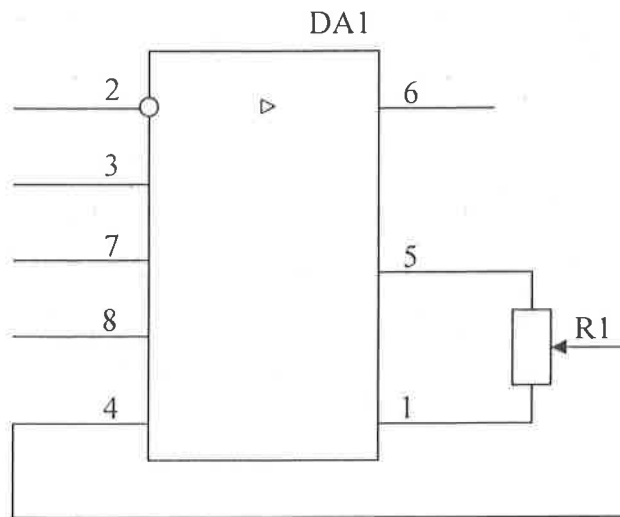
- обвязку микросхемы осуществлять компактно вблизи микросхемы (или вокруг микросхемы), не проводить в непосредственной близости от микросхемы цифровые и силовые линии.

Рекомендуется подключать фильтрующие конденсаторы по питанию в непосредственной близости от вывода питания (в месте его вывода на плату). При этом к каждому выводу питания рекомендуется подключать параллельно конденсаторы емкостью 0,1 мкФ и электролитический конденсатор емкостью 10 мкФ. Допускается подключение конденсаторов между выводами питания.

Типовые схемы включения микросхем приведены на рисунках 4–6.

Инв. № подл.	Подп. и дата	Взам. Инв. №	Инв. № дубл.	Подп. и дата
108974	Юсуп 25.04.23			

					ПАКД.431136.018Д1	Лист
Изм.	Лист	№ докум.	Подп.	Дата		20



DA1 – испытуемая микросхема

R1 – резистор 10 кОм $\pm 20\%$

Примечание – При балансировке микросхем с помощью потенциометра номиналом $R1 = 10 \text{ кОм } \pm 20\%$, температурный коэффициент напряжения смещения нуля не изменяется

Рисунок 7 – Схема внешней балансировки микросхем

Инв. № подл.	Подп. и дата	Взам. инв. №	Инв. № дубл.	Подп. и дата
108974	Бурд 25.04.23			
Изм.	Лист	№ докум.	Подп.	Дата

ПАКД.431136.018Д1

Лист

22

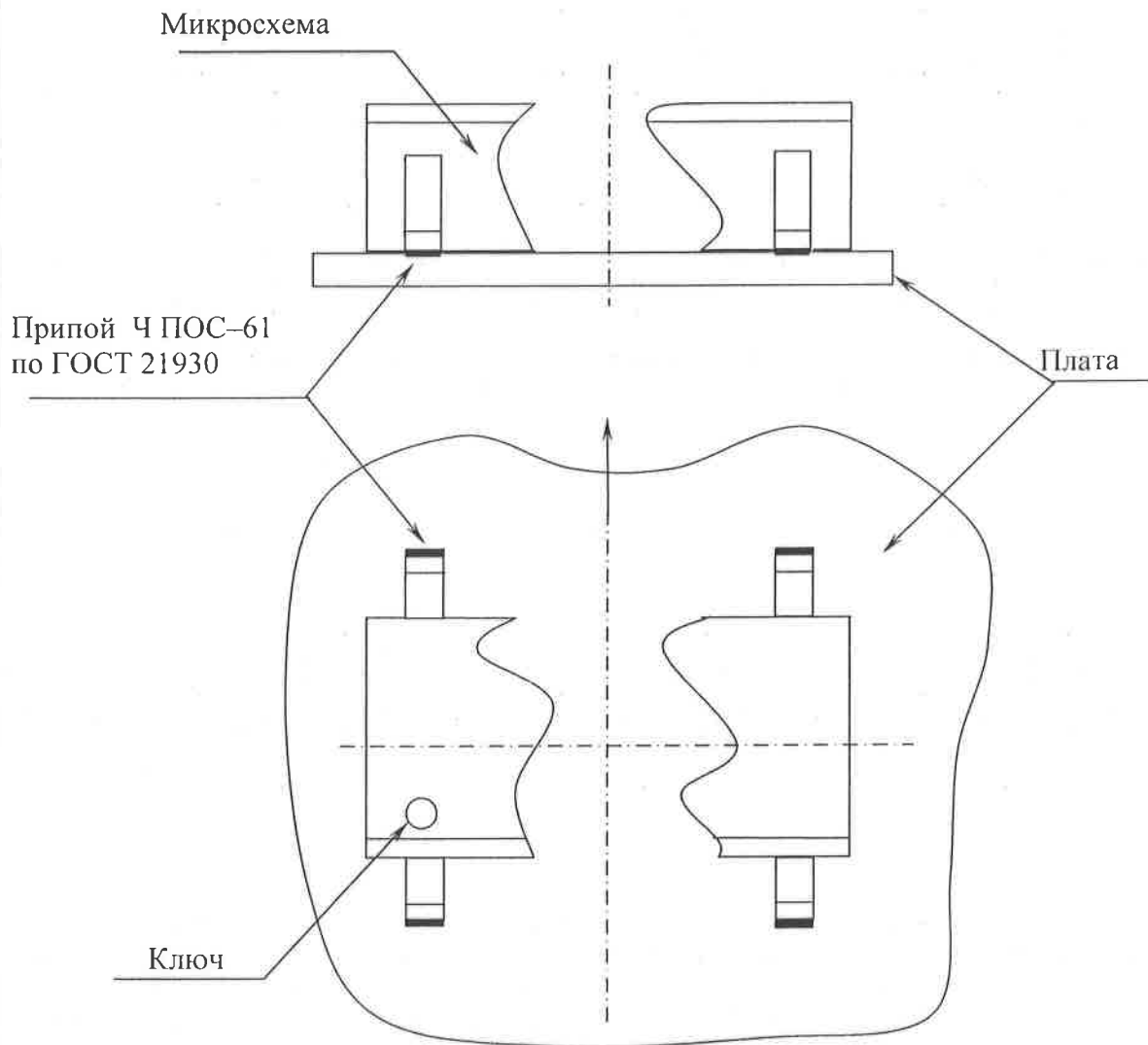


Рисунок 8 – Пример установки микросхем на плате

Инв. № подл.	Подп. и дата	Взам. Инв. №	Инв. № дубл	Подп. и дата
108974	Бучин 25.04.23			
Изм	Лист	№ докум	Подп.	Дата
ПАКД.431136.018Д1				Лист
				23

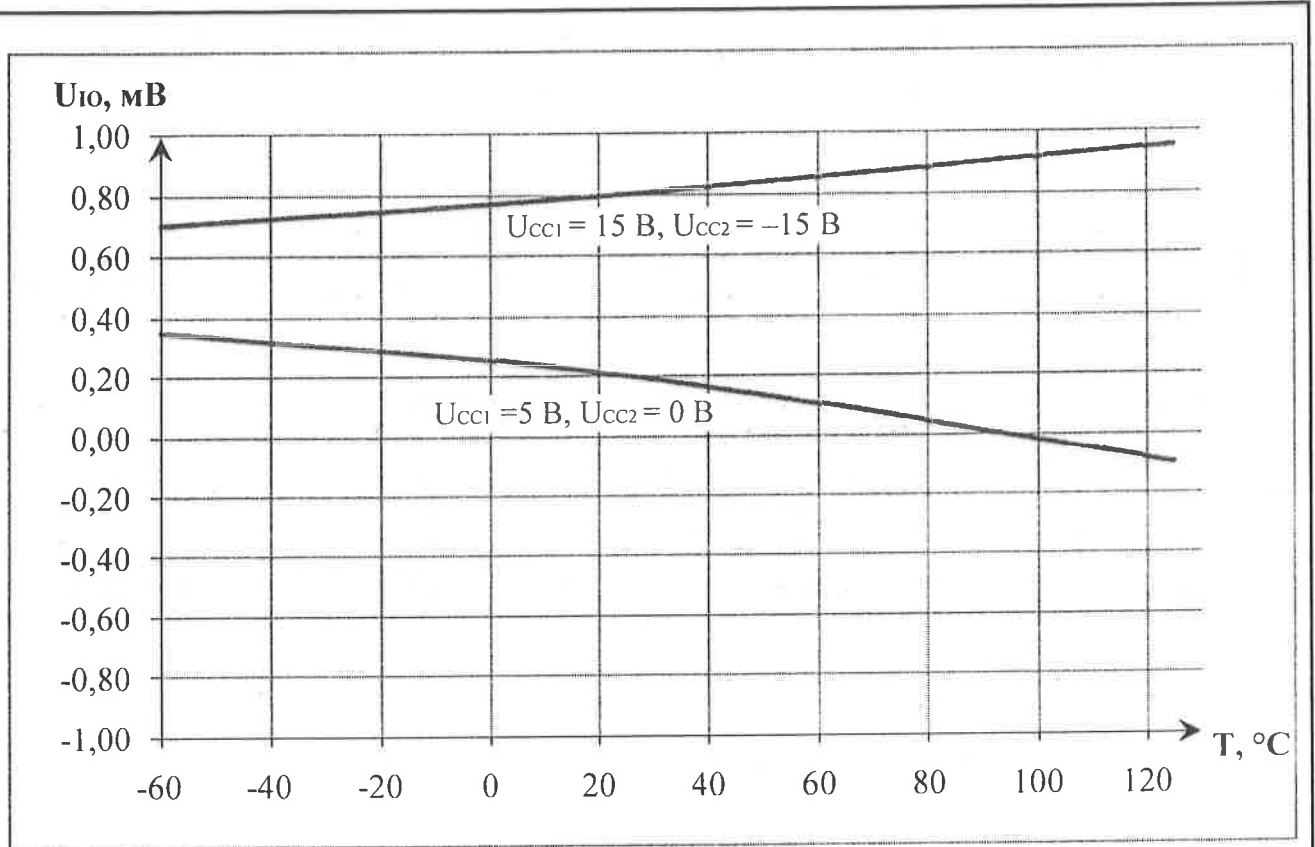


Рисунок 9 – Типовая зависимость напряжения смещения нуля от температуры окружающей среды при различных напряжениях питания при $R_L = 2 \text{ кОм}$

Инв. № подл.	Подп. и дата	Взам. Инв. №	Инв. № дубл	Подп. и дата
108974	Бочил 15.04.23			
Изм	Лист	№ докум	Подп.	Дата
ПАКД.431136.018Д1				Лист
				24

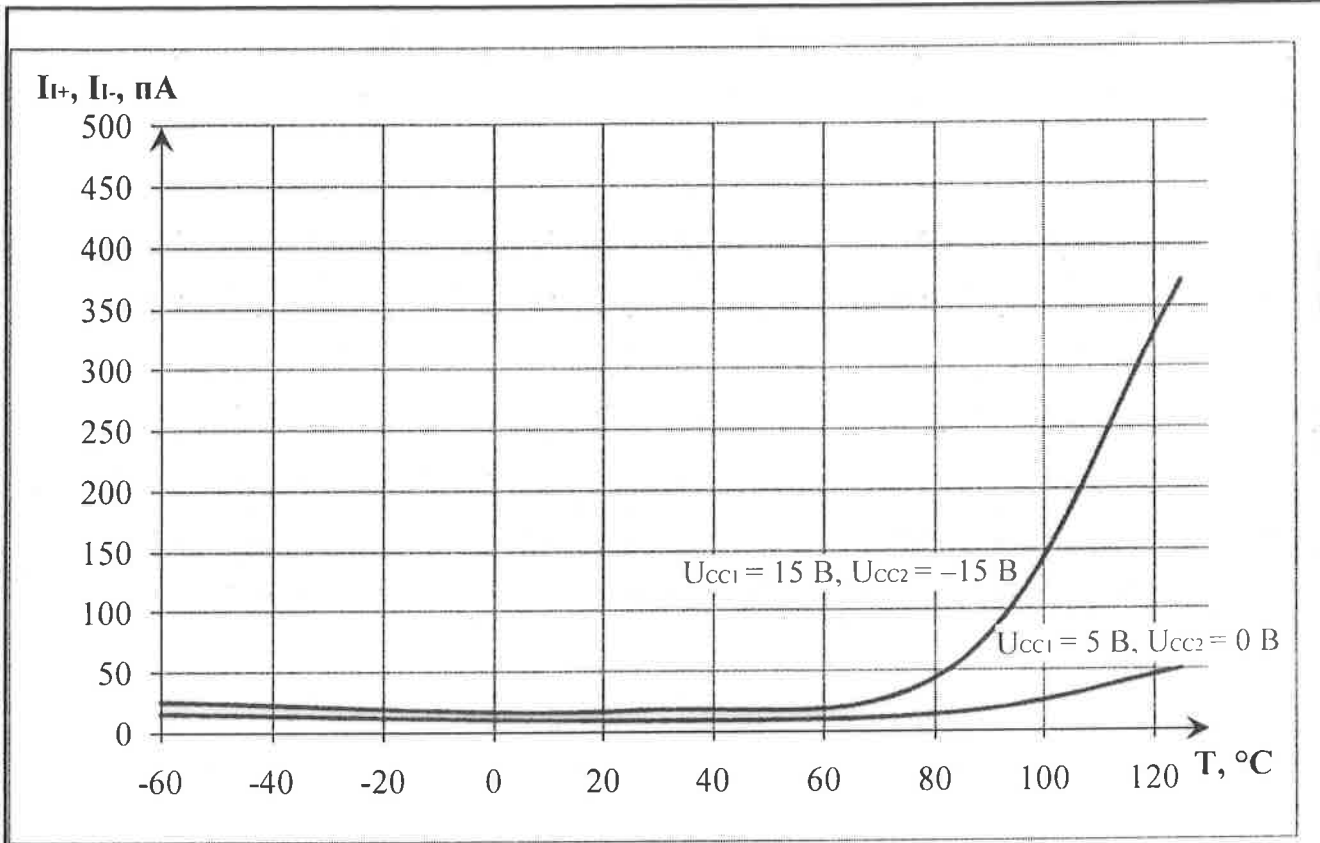


Рисунок 10 – Типовая зависимость входного тока от температуры окружающей среды при различных напряжениях питания

Инв. № подл.	Подп. и дата	Взам. Инв. №	Инв. № дубл	Подп. и дата
108974	Жуц 15.04.13			
Изм.	Лист	№ докум	Подп.	Дата
ПАКД.431136.018Д1				Лист
Копировал				25
Формат А4				

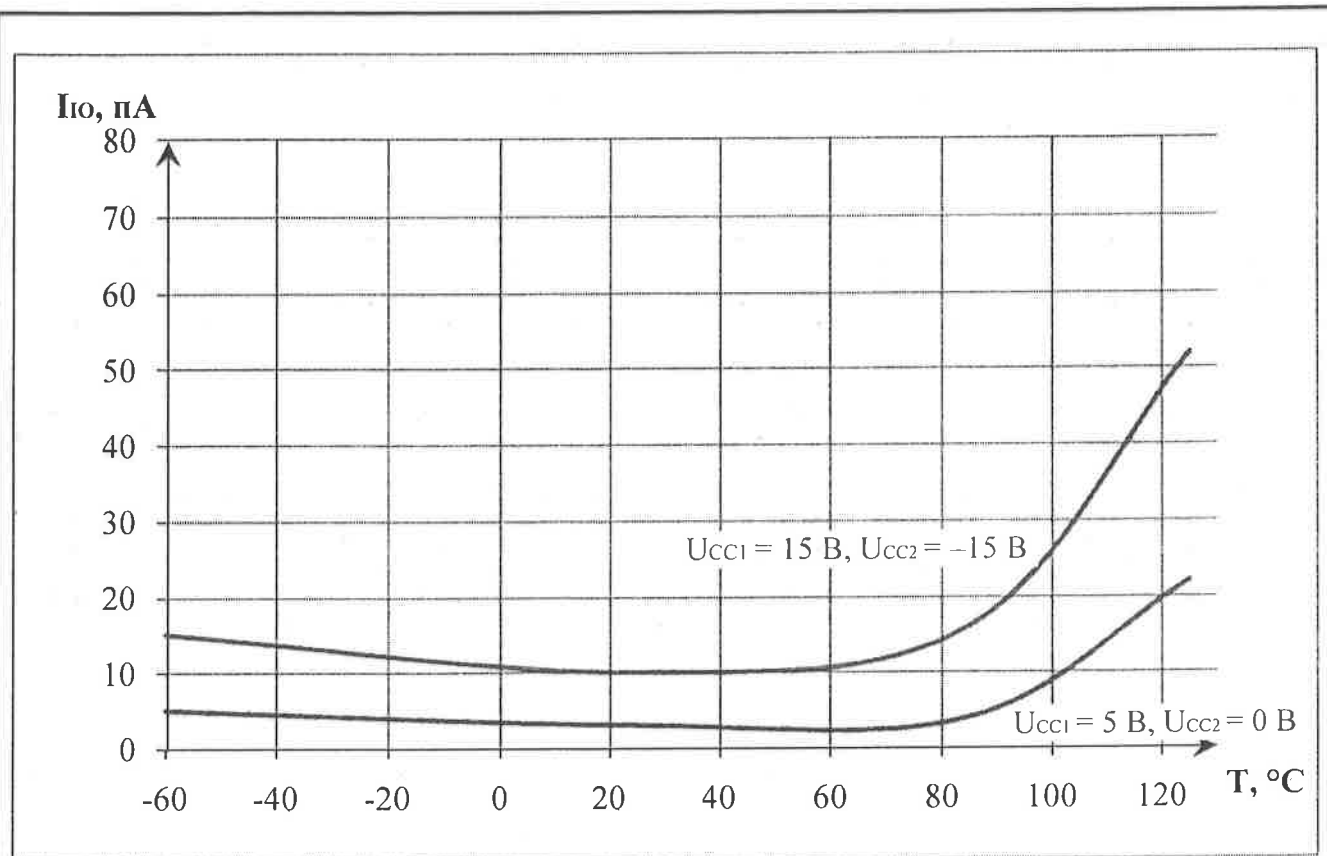


Рисунок 11 – Типовая зависимость разности входных токов от температуры окружающей среды при различных напряжениях питания

Инв. № подл.	Подп. и дата	Взам. Инв. №	Инв. № дубл	Подп. и дата
108974	Собор 25.04.23			
Изм	Лист	№ докум	Подп.	Дата
ПАКД.431136.018Д1				Лист
				26

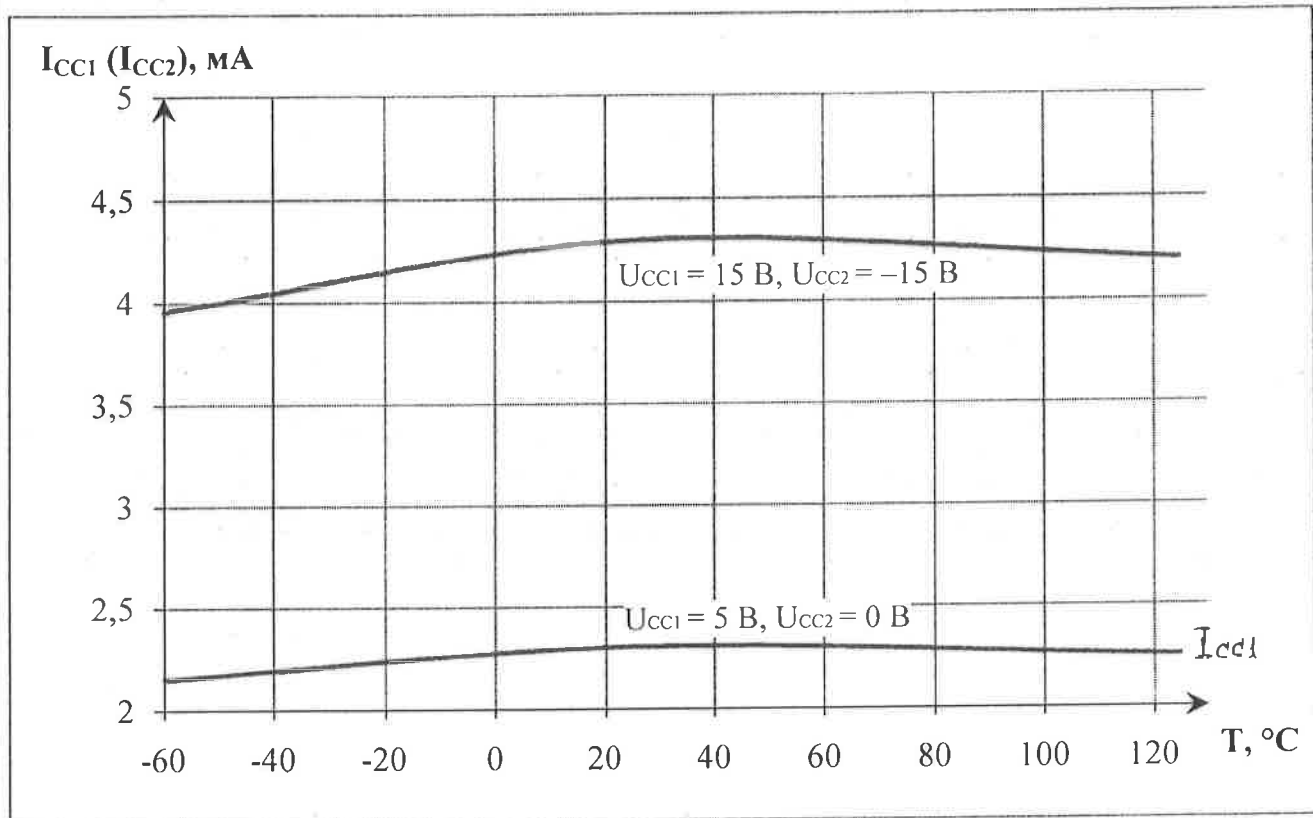


Рисунок 12 – Типовая зависимость тока потребления от температуры окружающей среды при различных напряжениях питания при $R_L = 2\text{ кОм}$

Инв. № подл.	Подп. и дата	Взам. Инв. №	Инв. № дубл	Подп. и дата
108994	Ючи 25.04.23			
Изм	Лист	№ докум	Подп.	Дата
ПАКД.431136.018Д1				Лист
				27

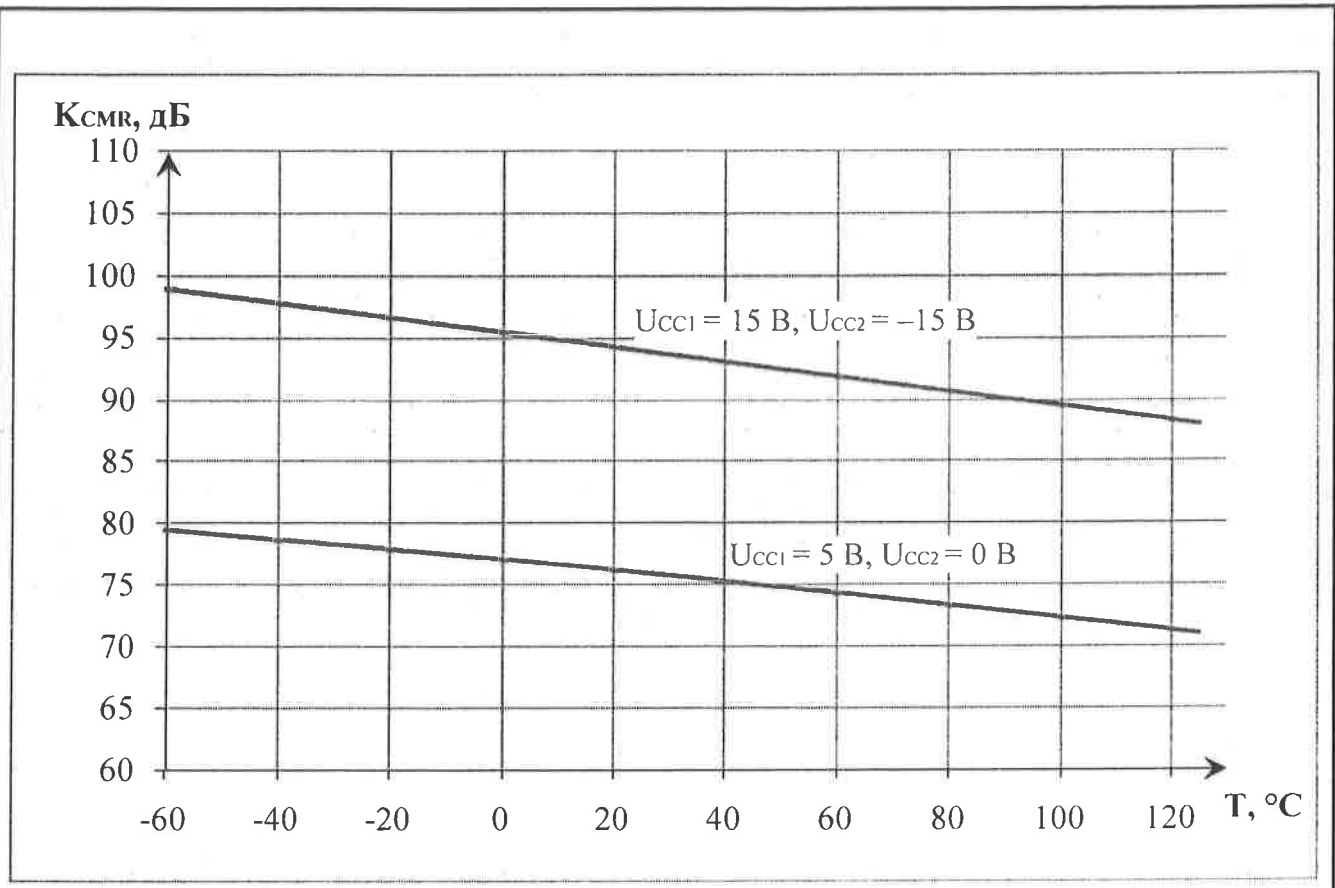


Рисунок 13 – Типовая зависимость коэффициента ослабления синфазных входных напряжений от температуры окружающей среды при различных напряжениях питания при $R_L = 2 \text{ кОм}$

Инв. № подл.	Подп. и дата	Взам. Инв. №	Инв. № дубл	Подп. и дата
445804	Бочаров 25.01.23			
Изм	Лист	№ докум	Подп.	Дата
ПАКД.431136.018Д1				Лист
				28

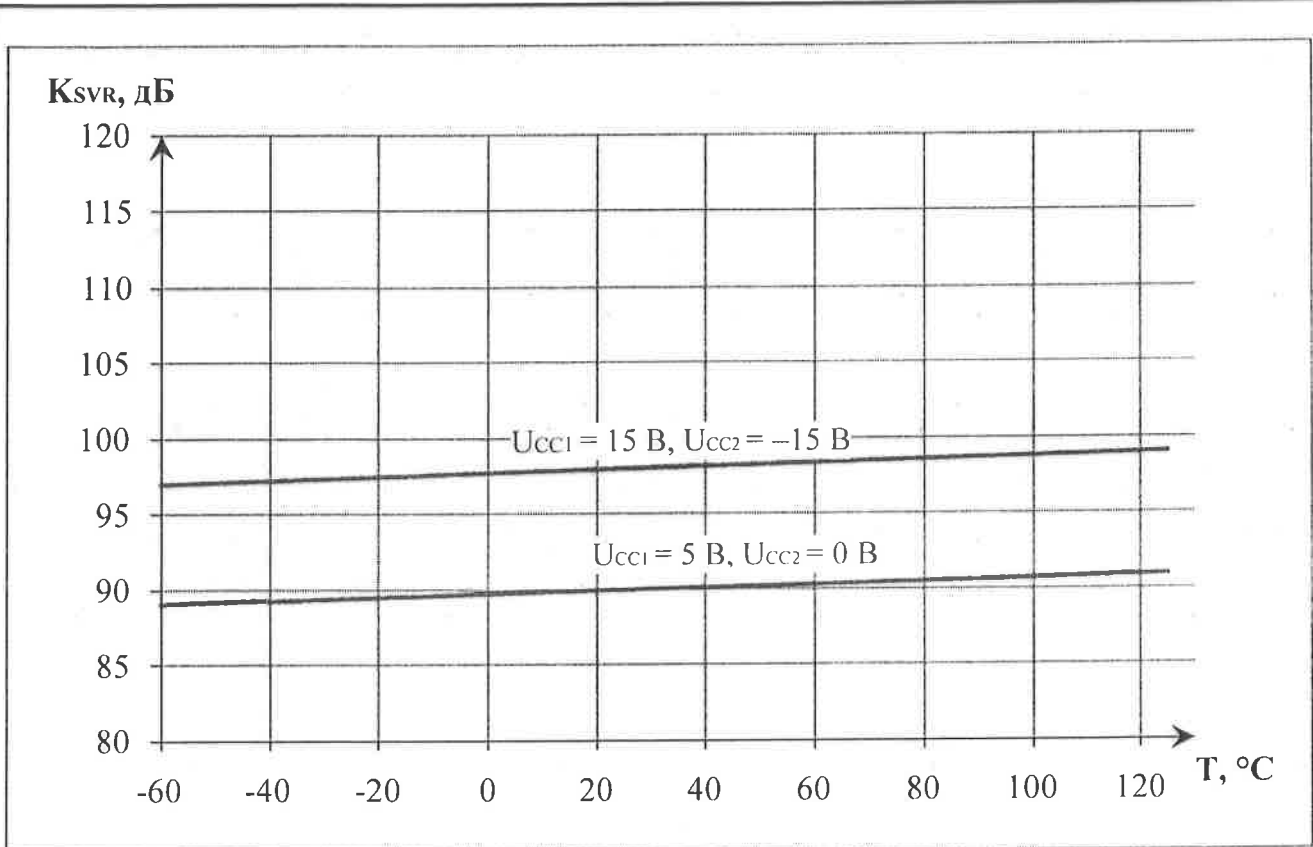


Рисунок 14 – Типовая зависимость коэффициента влияния нестабильности источника питания на напряжение смещения нуля от температуры окружающей среды при различных напряжениях питания при $R_L = 2\text{ кОм}$

Инв. № подл.	108994	Подп. и дата	Бучин 25.04.23	Взам. Инв. №		Инв. № дубл		Подп. и дата	
Изм		Лист		№ докум		Подп.		Дата	
ПАКД.431136.018Д1									Лист
									29

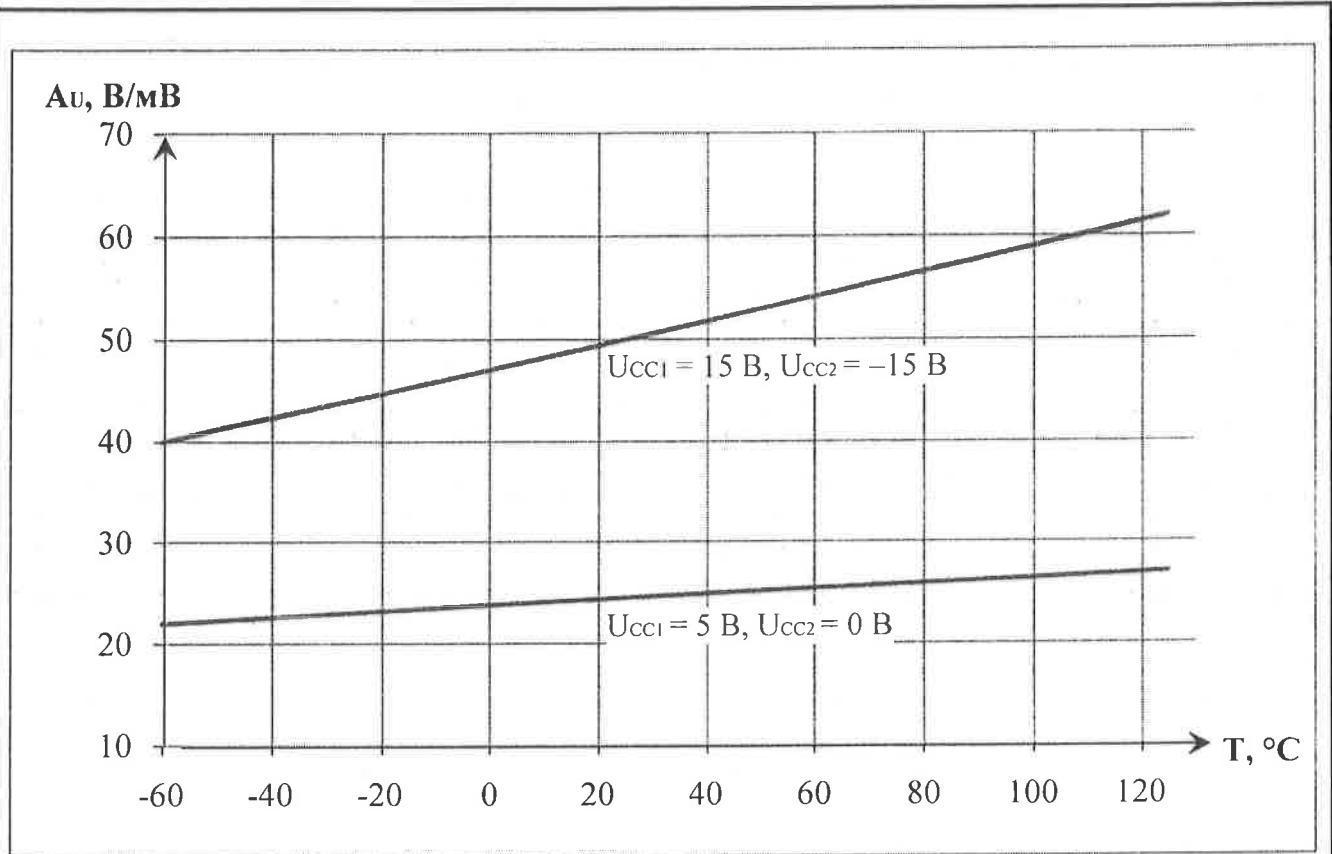


Рисунок 15 – Типовая зависимость коэффициента усиления напряжения от температуры окружающей среды при различных напряжениях питания при $R_L = 2 \text{ кОм}$

Инв. № подл.	Подп. и дата	Взам. Инв. №	Инв. № дубл	Подп. и дата
108974	Бурда 15.04.13			
Изм	Лист	№ докум	Подп.	Дата
ПАКД.431136.018Д1				Лист
				30

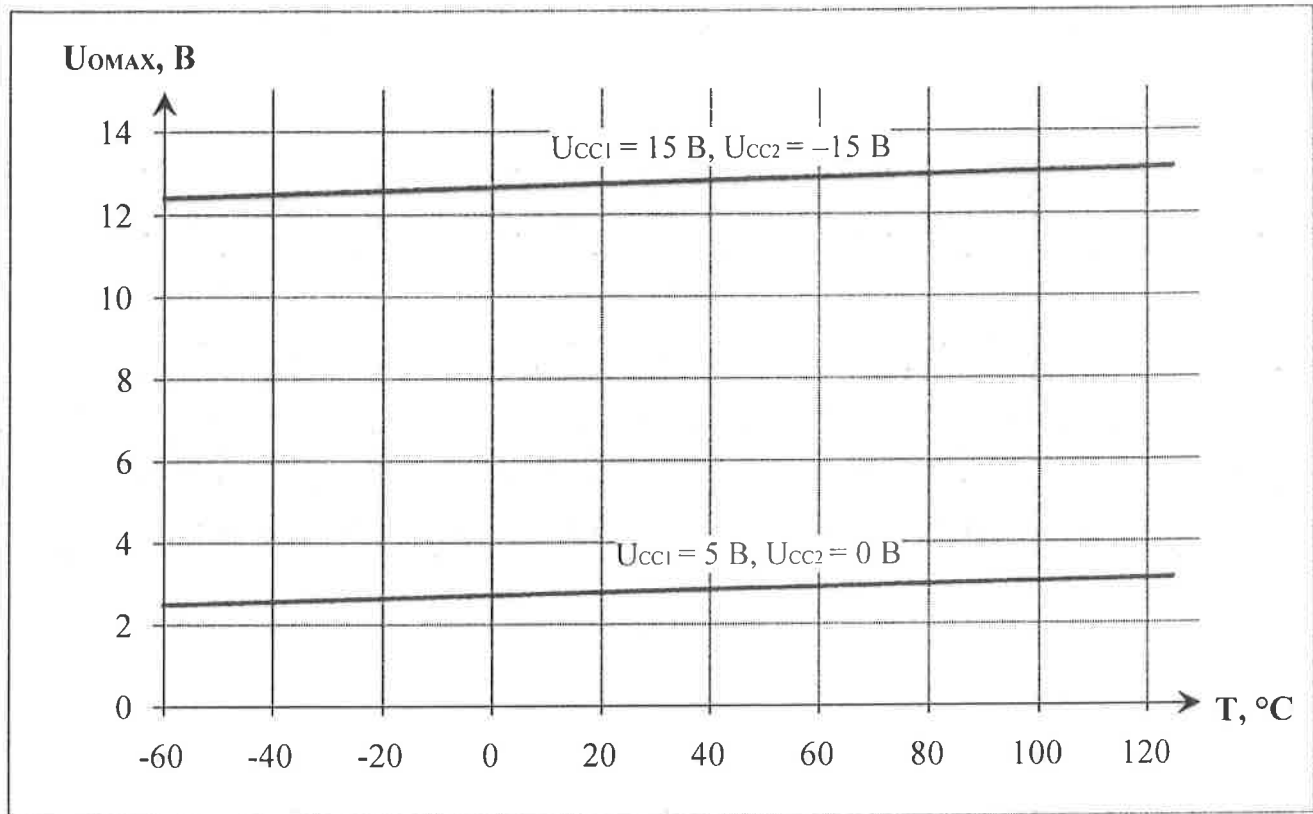


Рисунок 16 – Типовая зависимость максимального (положительного) выходного напряжения от температуры окружающей среды при различных напряжениях питания при $R_L = 2$ кОм

Инв. № подл.	Подп. и дата	Взам. Инв. №	Инв. № дубл	Подп. и дата
108974	Буча 15.04.23			
Изм	Лист	№ докум	Подп.	Дата
ПАКД.431136.018Д1				Лист
				31

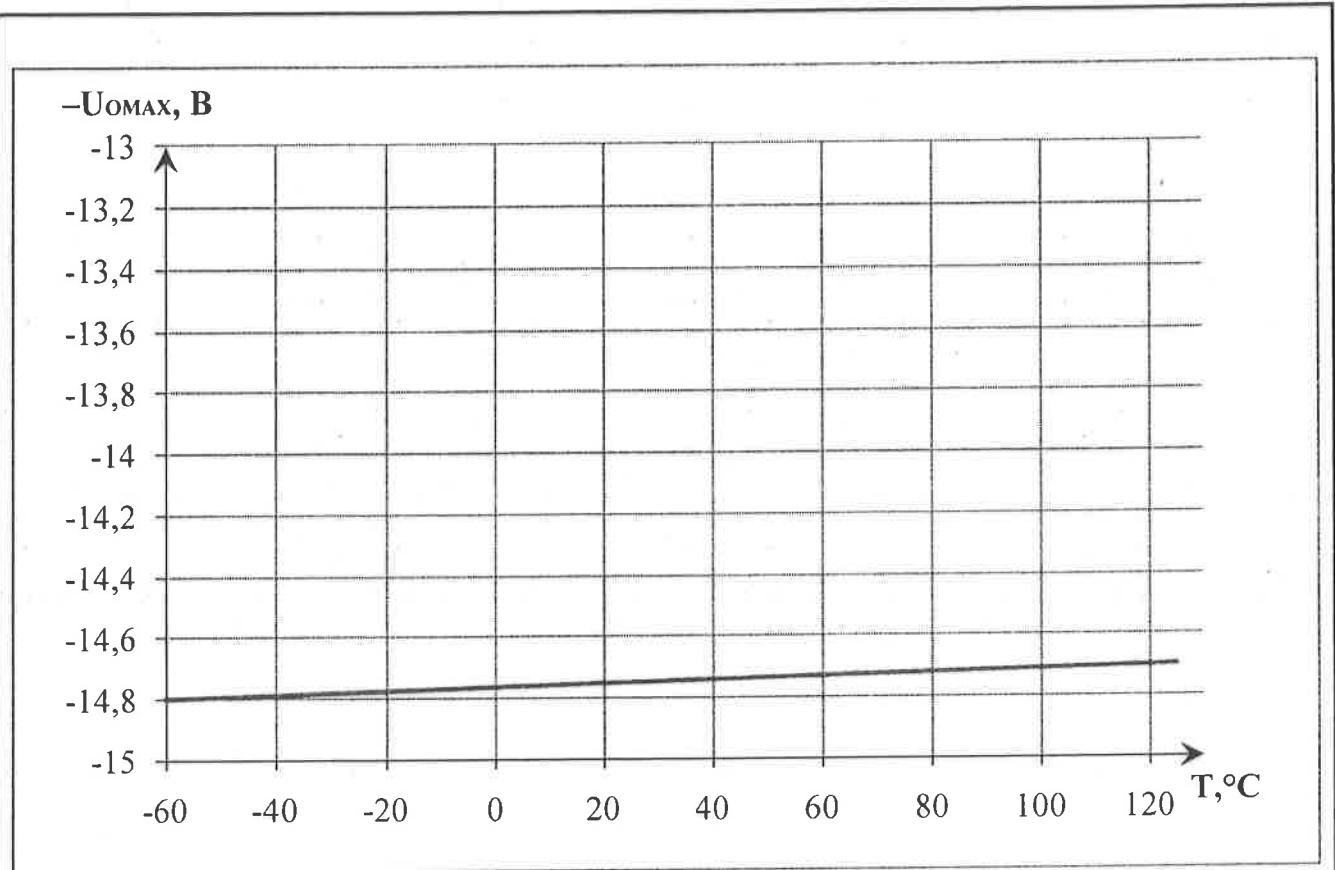


Рисунок 17 – Типовая зависимость максимального (отрицательного) выходного напряжения от температуры окружающей среды при $U_{CC1} = 15 \text{ В}$, $U_{CC2} = -15 \text{ В}$ и $R_L = 2 \text{ кОм}$

Инв № подл.	Подп. и дата	Взам. Инв. №	Инв. № дубл	Подп. и дата
108974	Бочура 25.01.23			
Изм	Лист	№ докум	Подп.	Дата
ПАКД.431136.018Д1				Лист
				32

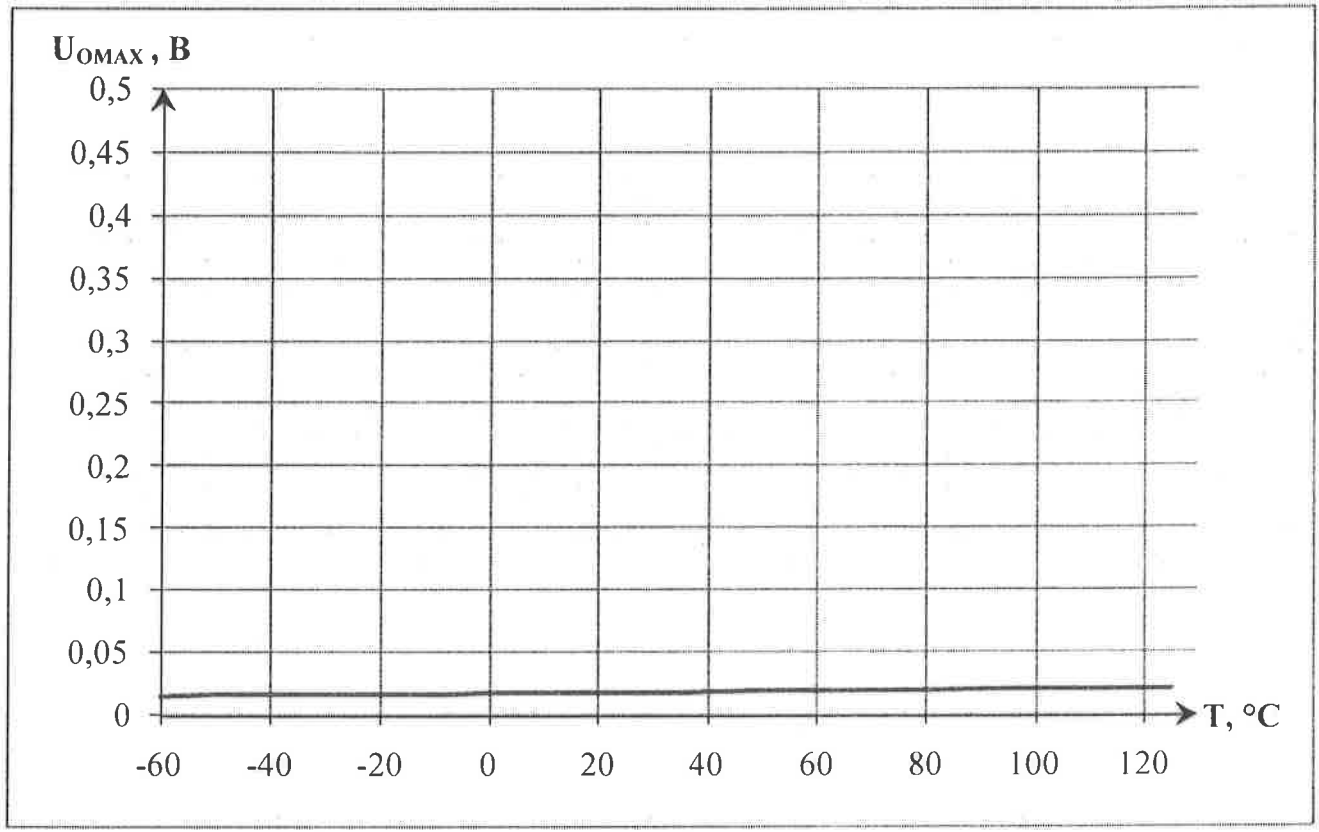


Рисунок 18 – Типовая зависимость минимального выходного напряжения от температуры окружающей среды при различных напряжениях питания при $U_{cc1} = 5 \text{ В}$, $U_{cc2} = 0 \text{ В}$ и $R_L = 2 \text{ кОм}$

Инв. № подл.	Подп. и дата	Взам. Инв. №	Инв. № дубл	Подп. и дата
108974	Ющев 25.04.23			
Изм	Лист	№ докум	Подп.	Дата
ПАКД.431136.018Д1				Лист
				33

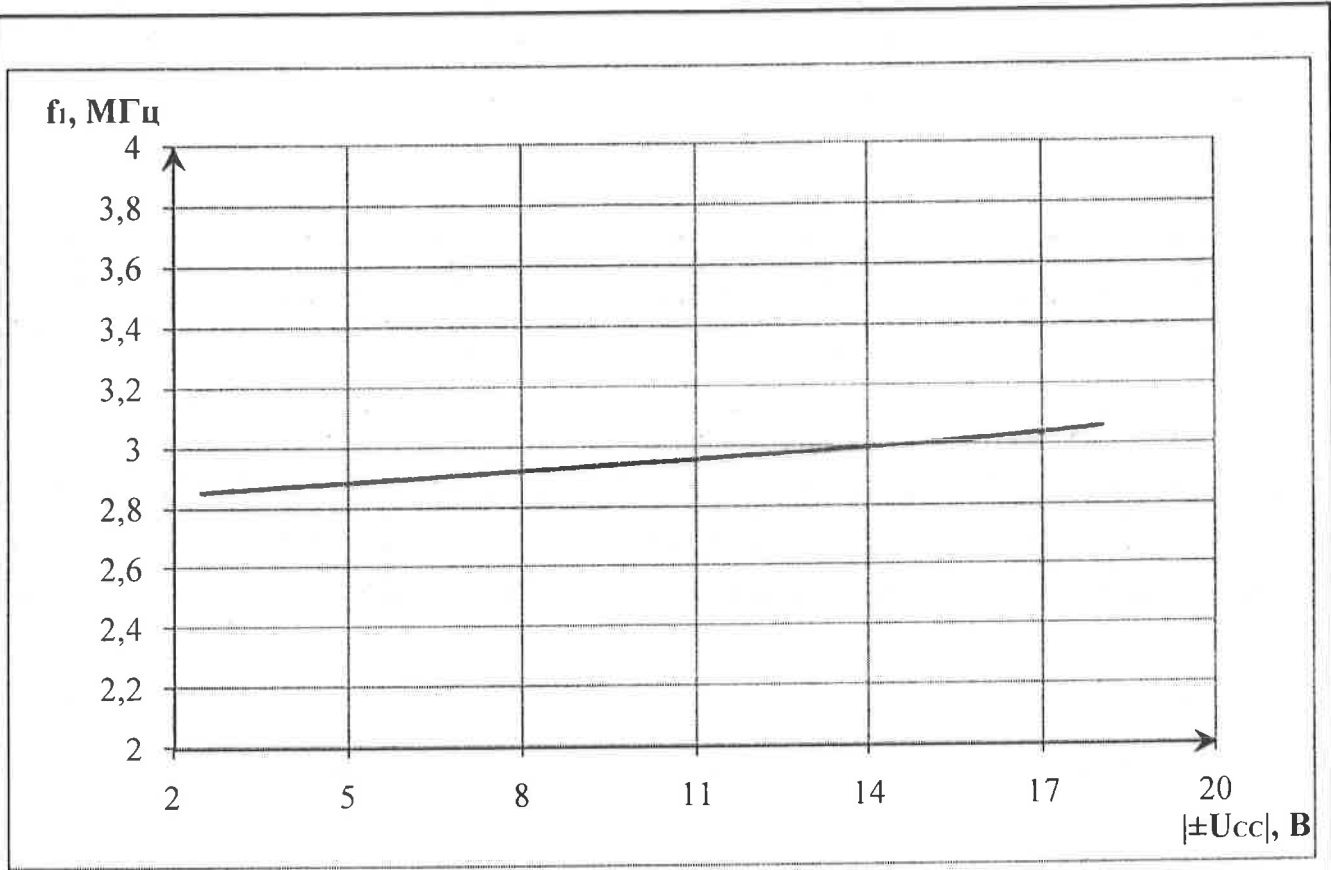


Рисунок 19 – Типовая зависимость частоты единичного усиления от напряжения питания при $U_{cc1} = 15$ В, $U_{cc2} = -15$ В, $R_L = 2$ кОм, $T = 25$ °С

Инв № подл.	Подп. и дата	Взам. Инв. №	Инв. № дубл	Подп. и дата
108994	Сыч 25.04.23			
Изм	Лист	№ докум	Подп.	Дата
ПАКД.431136.018Д1				Лист
				34

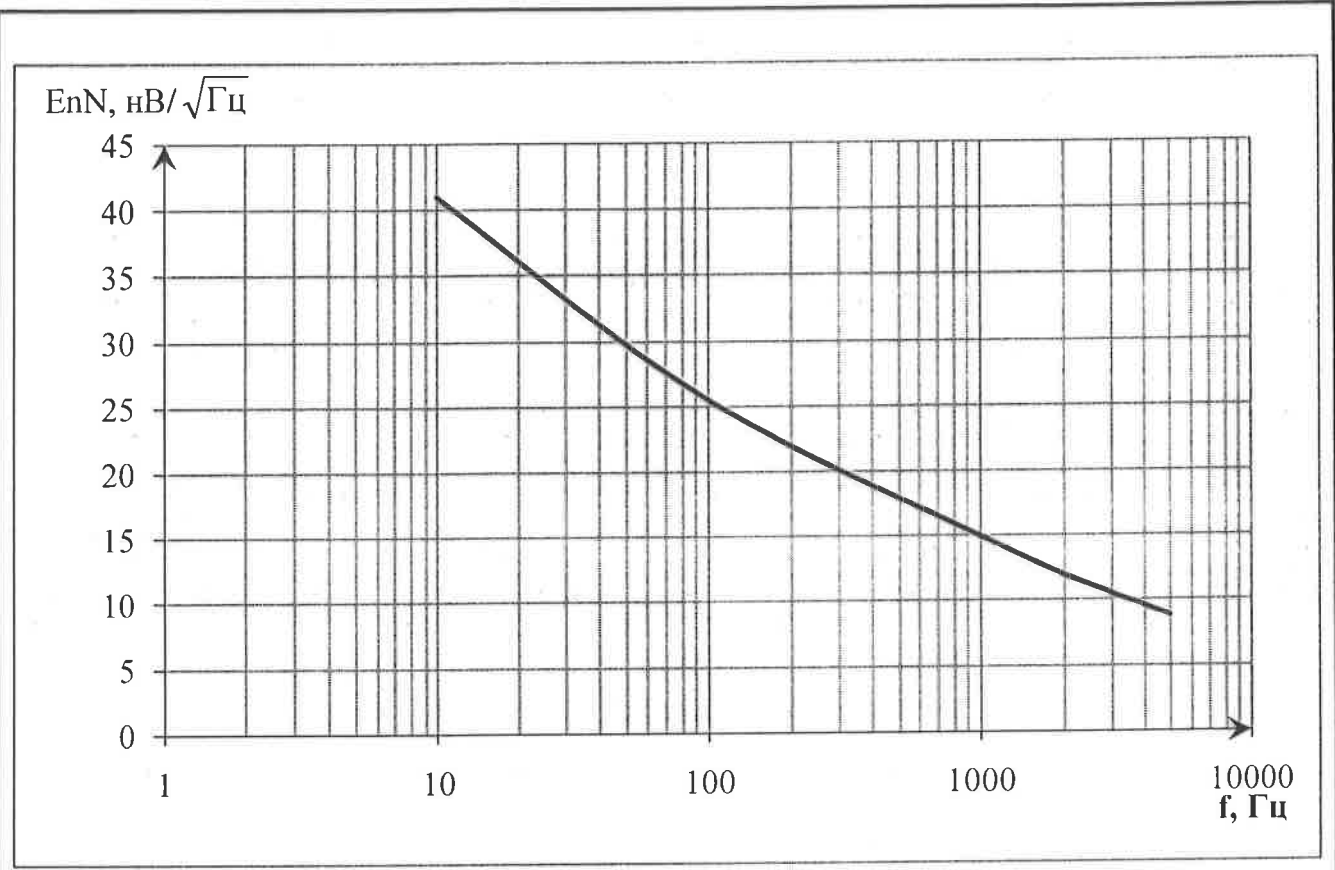


Рисунок 20 – Типовая зависимость нормированной электродвижущей силы шума от частоты при $U_{cc1} = 15 \text{ В}$, $U_{cc2} = -15 \text{ В}$, $R_L = 2 \text{ кОм}$, $T = 25 \text{ °С}$

Инв. № подл.	Подп. и дата	Взам. Инв. №	Инв. № дубл	Подп. и дата
1080974	Борис 15.04.13			
Изм	Лист	№ докум	Подп.	Дата
ПАКД.431136.018Д1				Лист
				35

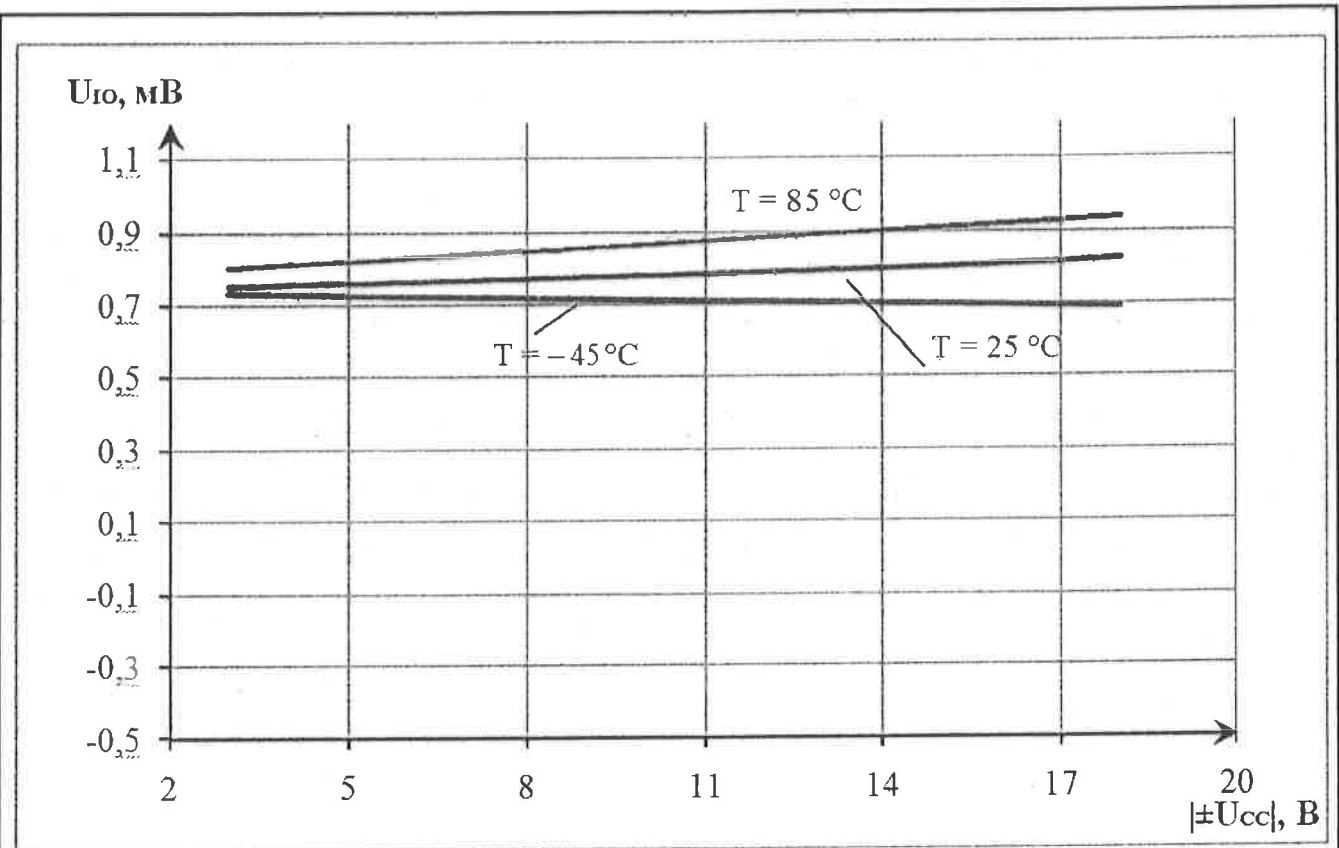


Рисунок 21 – Типовая зависимость напряжения смещения нуля от напряжения питания для различных температур окружающей среды при двухполярном режиме работы микросхемы при $R_L = 2 \text{ кОм}$

Инв. № подл.	1088974	Подп. и дата	Бочков 15.04.83	Взам. Инв. №		Инв. № дубл.		Подп. и дата	
Изм		Лист		№ докум		Подп.		Дата	
ПАКД.431136.018Д1									Лист
Копировал									36
Формат А4									

$I_{I+}, I_{I-}, \text{ пА}$

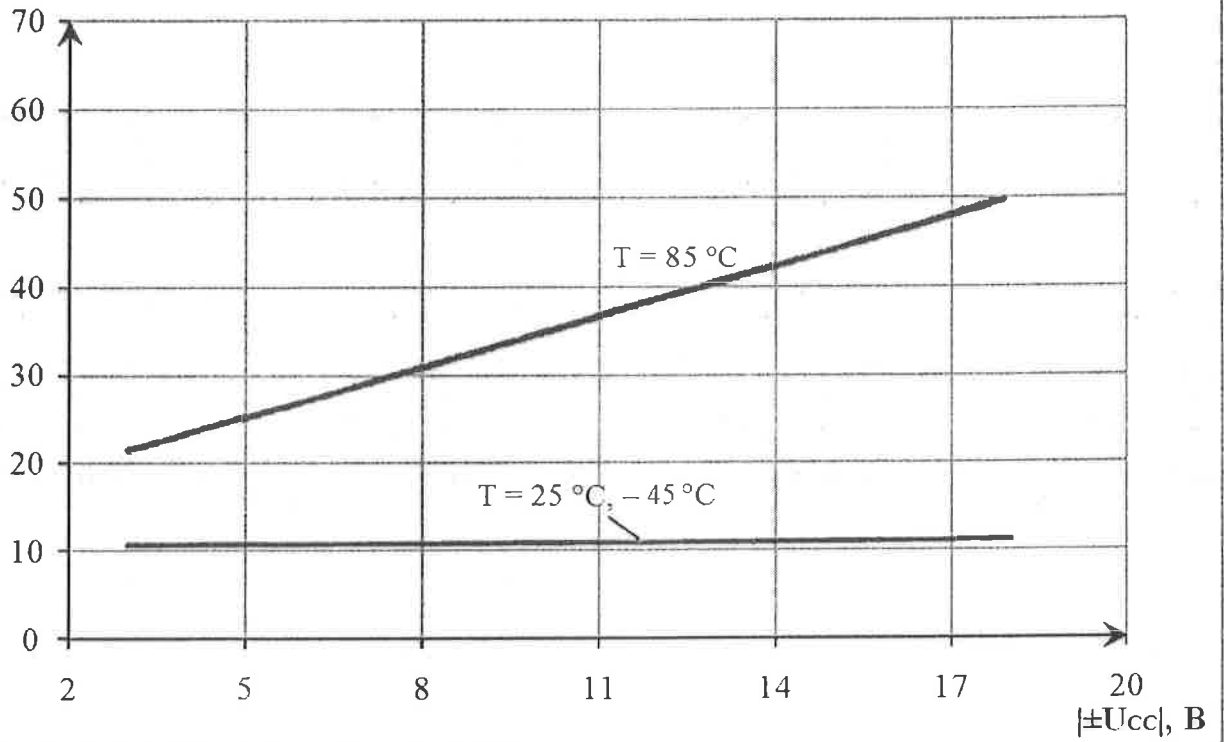


Рисунок 22 – Типовая зависимость входного тока от напряжения питания для различных температур окружающей среды при двухполярном режиме работы микросхемы

Инв. № подл.	Подп. и дата	Взам. Инв. №	Инв. № дубл	Подп. и дата
108994	Бучел 25.04.13			
Изм	Лист	№ докум	Подп.	Дата
ПАКД.431136.018Д1				Лист
				37

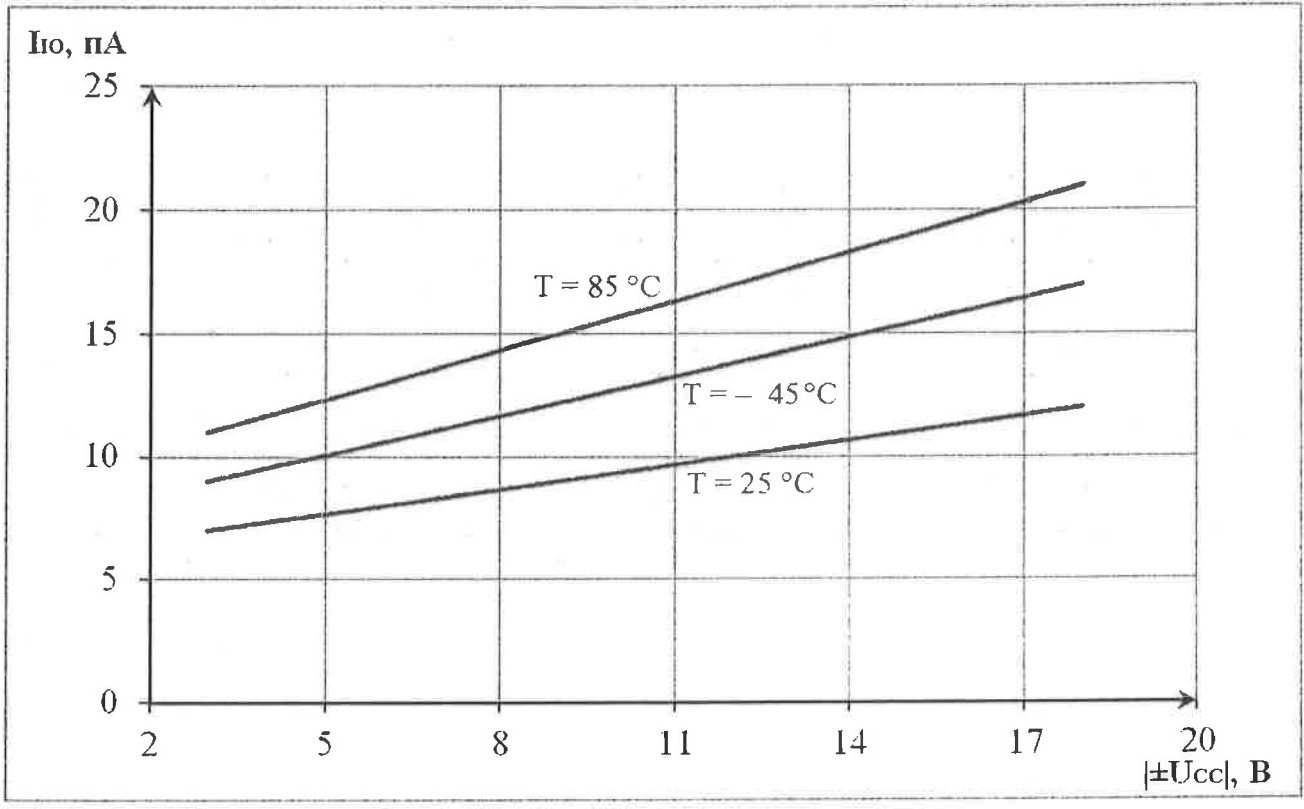


Рисунок 23 – Типовая зависимость разности входных токов от напряжения питания для различных температур окружающей среды при двухполярном режиме работы микросхемы

Инв. № подл.	Подп. и дата	Взам. Инв. №	Инв. № дубл	Подп. и дата
108974	Бочар 25.04.83			
Изм	Лист	№ докум	Подп.	Дата
ПАКД.431136.018Д1				Лист
				38

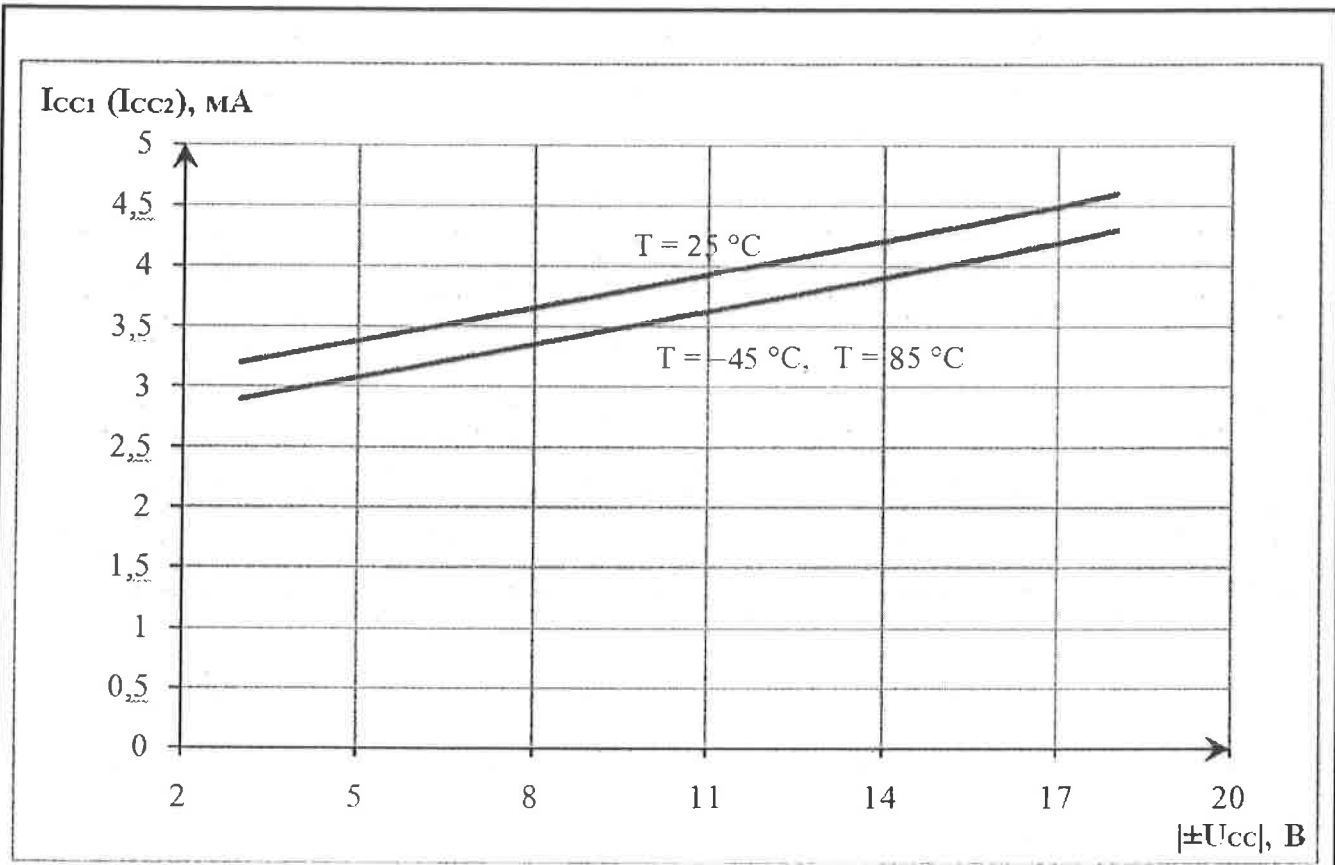


Рисунок 24 – Типовая зависимость тока потребления от напряжения питания для различных температур окружающей среды при двухполярном режиме работы микросхемы при $R_L = 2 \text{ кОм}$

Инв. № подл.	Подп. и дата	Взам. Инв. №	Инв. № дубл	Подп. и дата
1088974	Юрчи 25.04.23			
Изм	Лист	№ докум	Подп.	Дата
ПАКД.431136.018Д1				Лист
				39

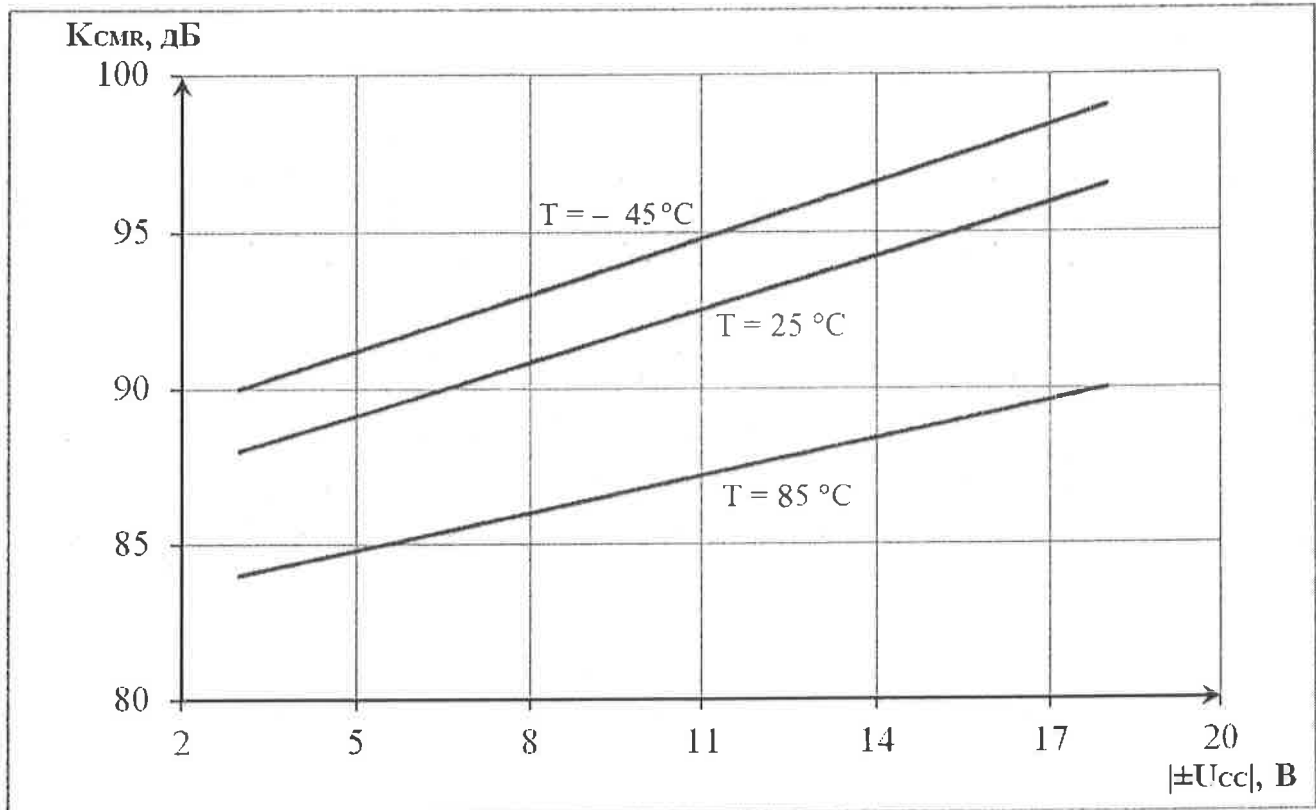


Рисунок 25 – Типовая зависимость коэффициента ослабления синфазных входных напряжений от напряжения питания для различных температур окружающей среды при двухполярном режиме работы микросхемы при $R_L = 2 \text{ кОм}$

Инв. № подл.	Подп. и дата	Взам. Инв. №	Инв. № дубл	Подп. и дата
108974	Ющев 25.04.23			
Изм	Лист	№ докум	Подп.	Дата
ПАКД.431136.018Д1				Лист
				40

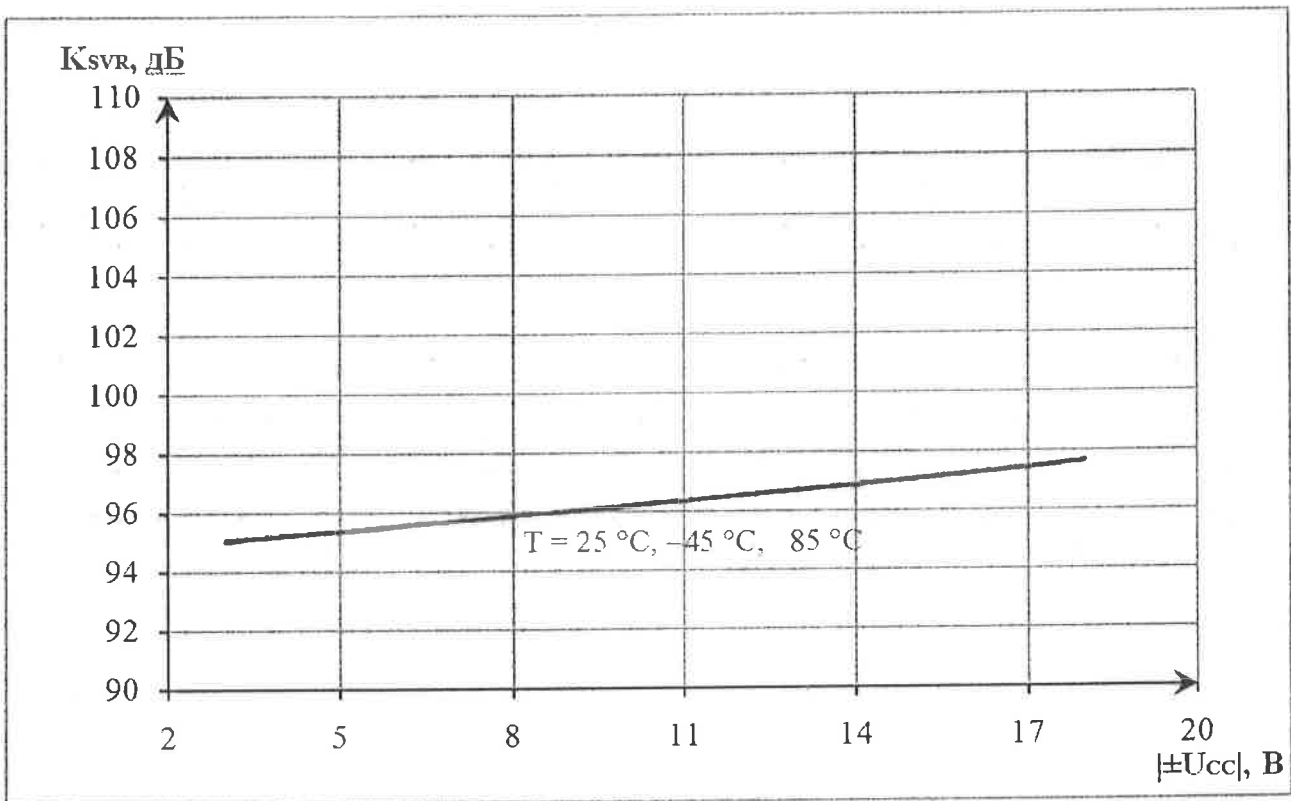


Рисунок 26 – Типовая зависимость коэффициента влияния нестабильности источника питания на напряжение смещения нуля от напряжения питания для различных температур окружающей среды при двухполярном режиме работы микросхемы при $R_L = 2\text{ кОм}$

Инв № подл.	Подл. и дата	Взам. Инв. №	Инв. № дубл	Подл. и дата
408974	Ючч 25.04.23			
Изм	Лист	№ докум	Подп.	Дата
ПАКД.431136.018Д1				Лист
				41

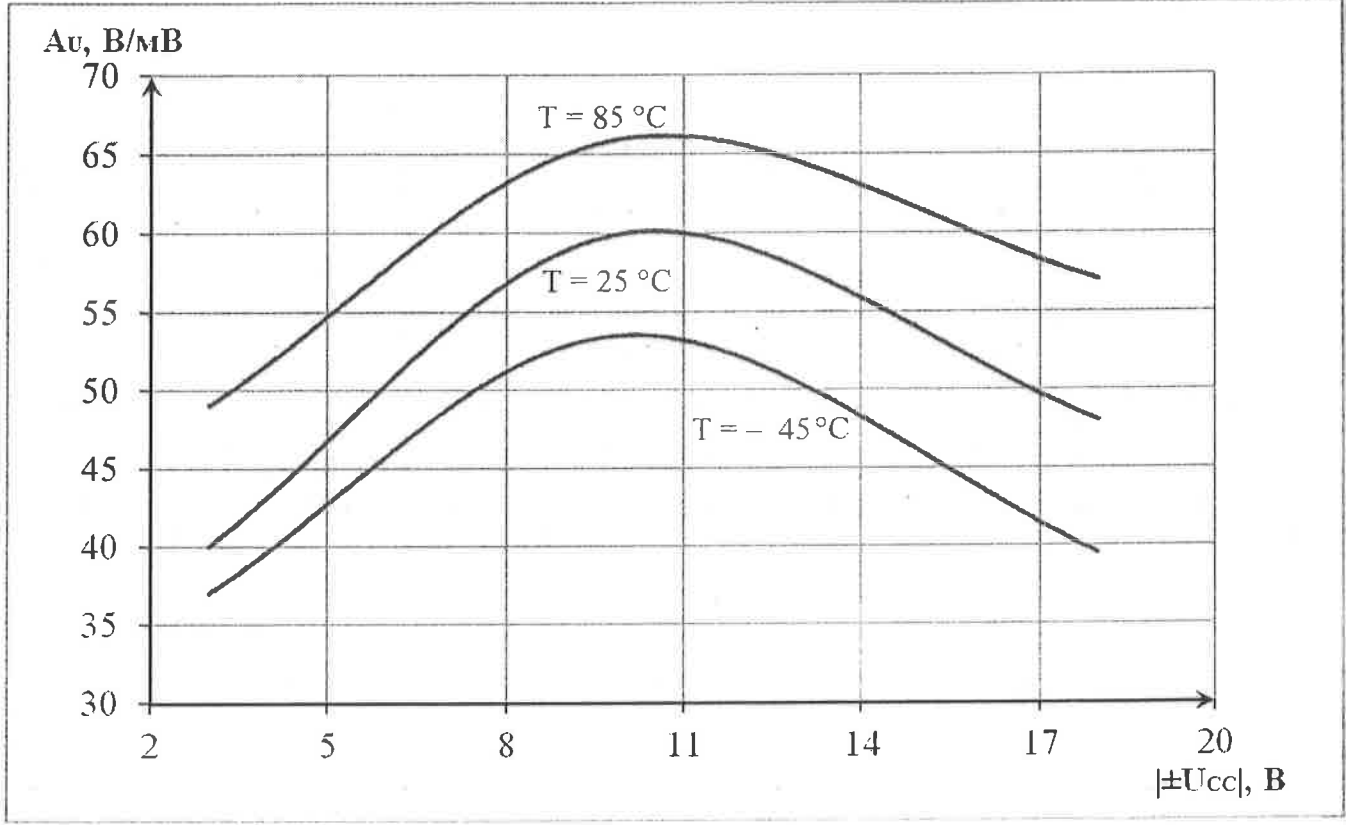


Рисунок 27 – Типовая зависимость коэффициента усиления напряжения от напряжения питания для различных температур окружающей среды при двухполярном режиме работы микросхемы при $R_L = 2 \text{ кОм}$

Инв № подл.	108974	Подп. и дата	
Взам. Инв. №		Инв. № дубл	
Подп. и дата	Борисов 25.04.23	Подп. и дата	

Изм	Лист	№ докум	Подп.	Дата	ПАКД.431136.018Д1	Лист
						42

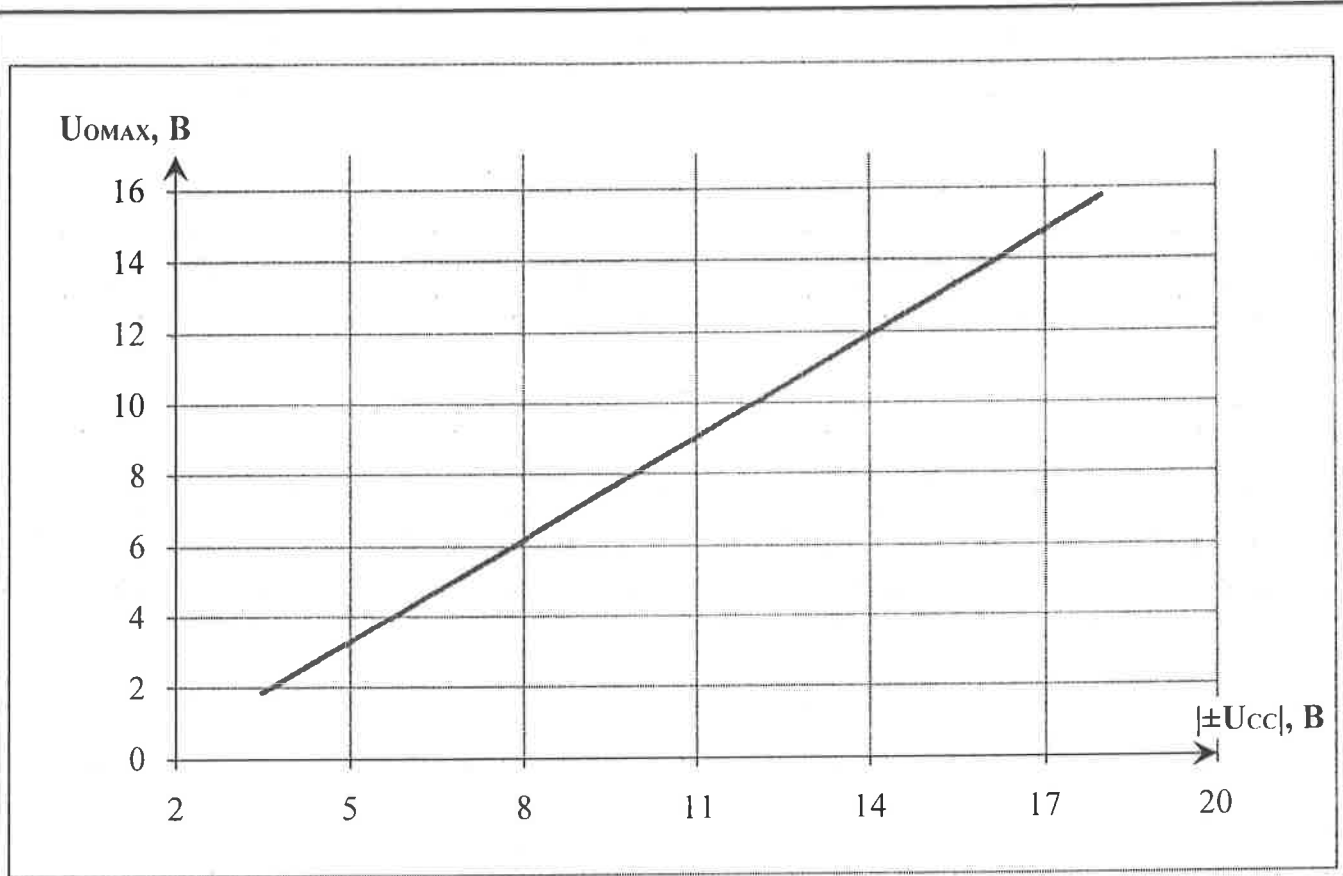


Рисунок 28 – Типовая зависимость максимального выходного напряжения от напряжения питания при двухполярном режиме работы микросхемы при $R_L = 2 \text{ кОм}$

Инв № подл.	Подп. и дата	Взам. Инв. №	Инв. № дубл	Подп. и дата
108974	Борисов 25.04.13			

Изм	Лист	№ докум	Подп.	Дата	ПАКД.431136.018Д1	Лист
						43

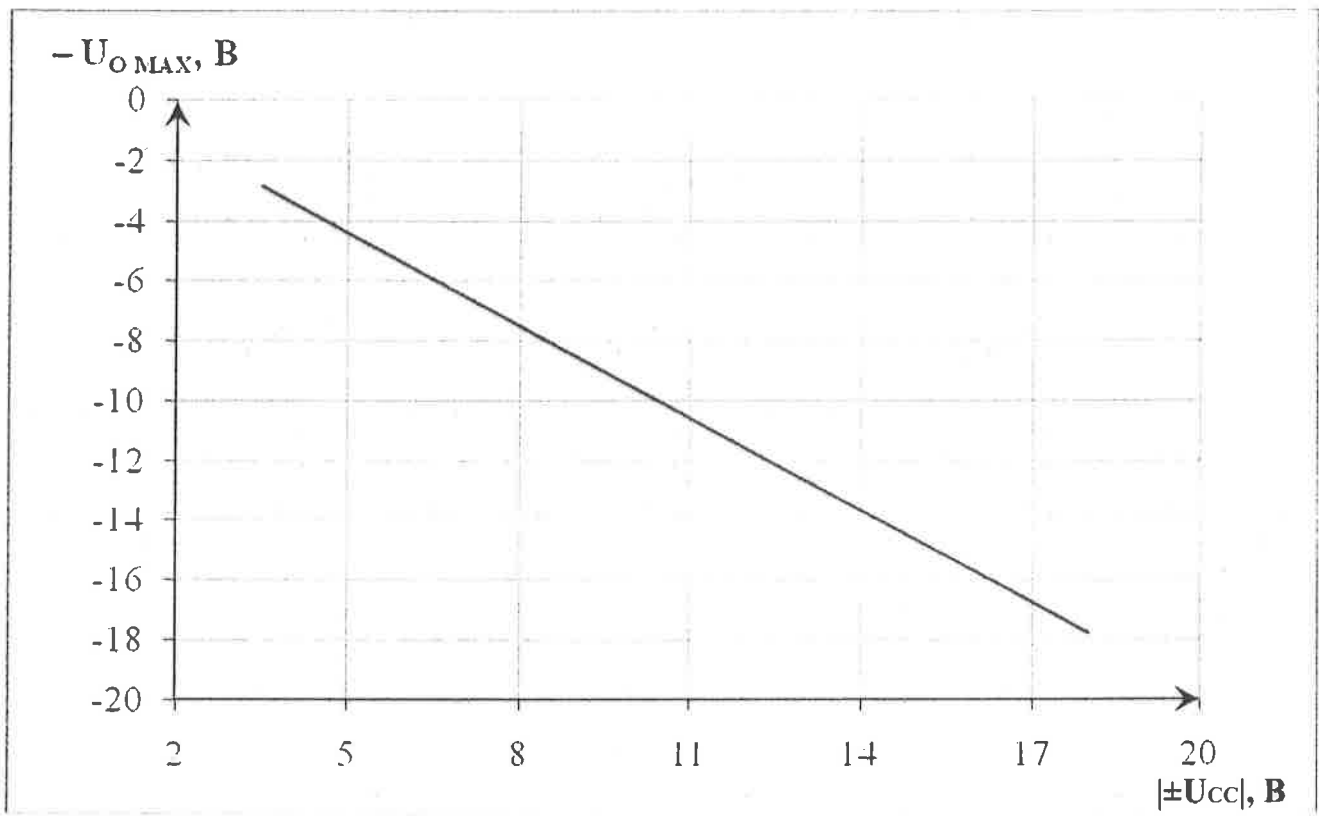


Рисунок 29 – Типовая зависимость максимального выходного напряжения от напряжения питания при двухполярном режиме работы микросхемы при $R_L = 2 \text{ кОм}$

Инв. № подл.	Подп. и дата	Взам. Инв. №	Инв. № дубл.	Подп. и дата
108974	Будимасова. 23			

Изм.	Лист	№ докум	Подп.	Дата

ПАКД.431136.018Д1

Лист

44

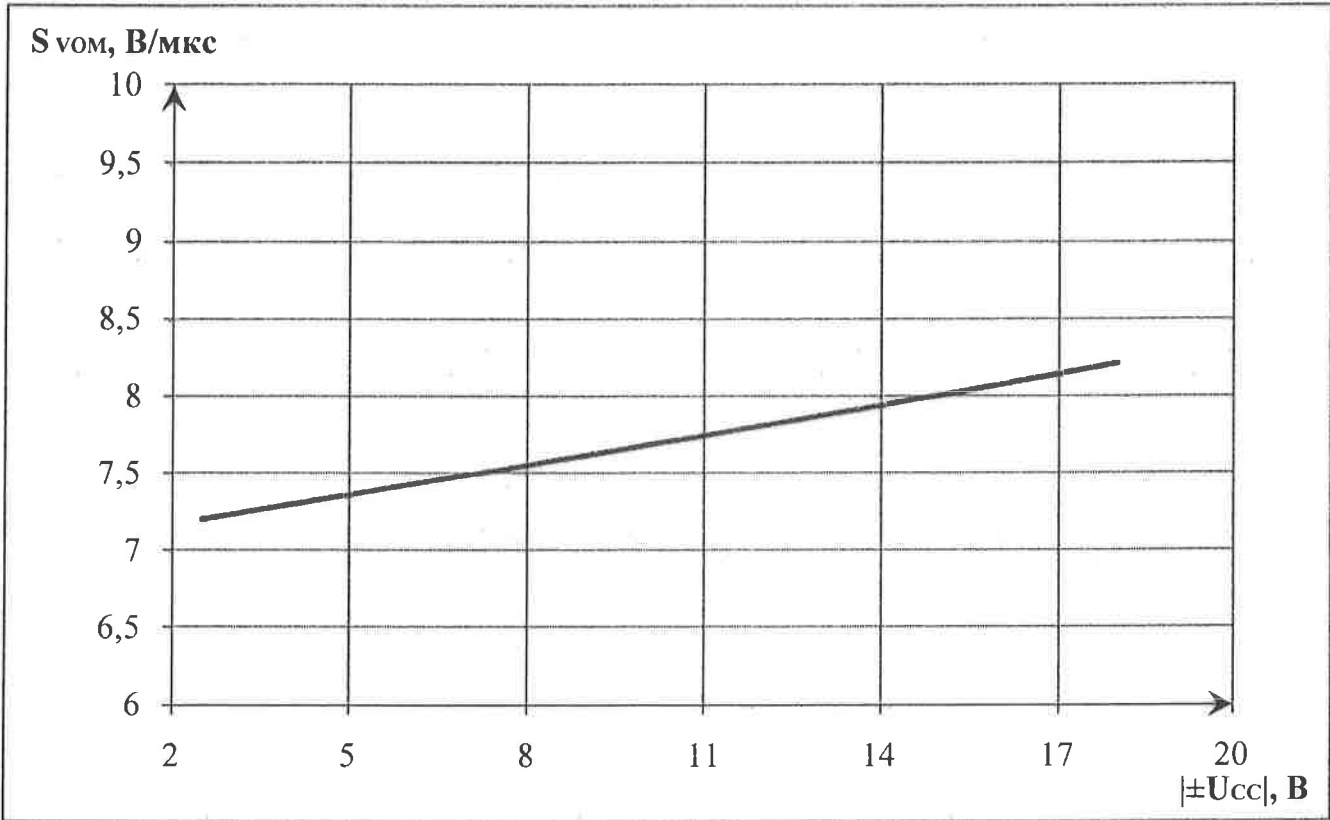


Рисунок 30 – Типовая зависимость максимальной скорости нарастания выходного напряжения от напряжения питания при двухполярном режиме работы микросхемы при $R_L = 2 \text{ кОм}$, $T = 25 \text{ }^\circ\text{C}$

Инв. № подл.	Подп. и дата	Взам. Инв. №	Инв. № дубл	Подп. и дата
108974	Бочков 26.04.23			
Изм	Лист	№ докум	Подп.	Дата
ПАКД.431136.018Д1				Лист
Копировал				45
Формат А4				

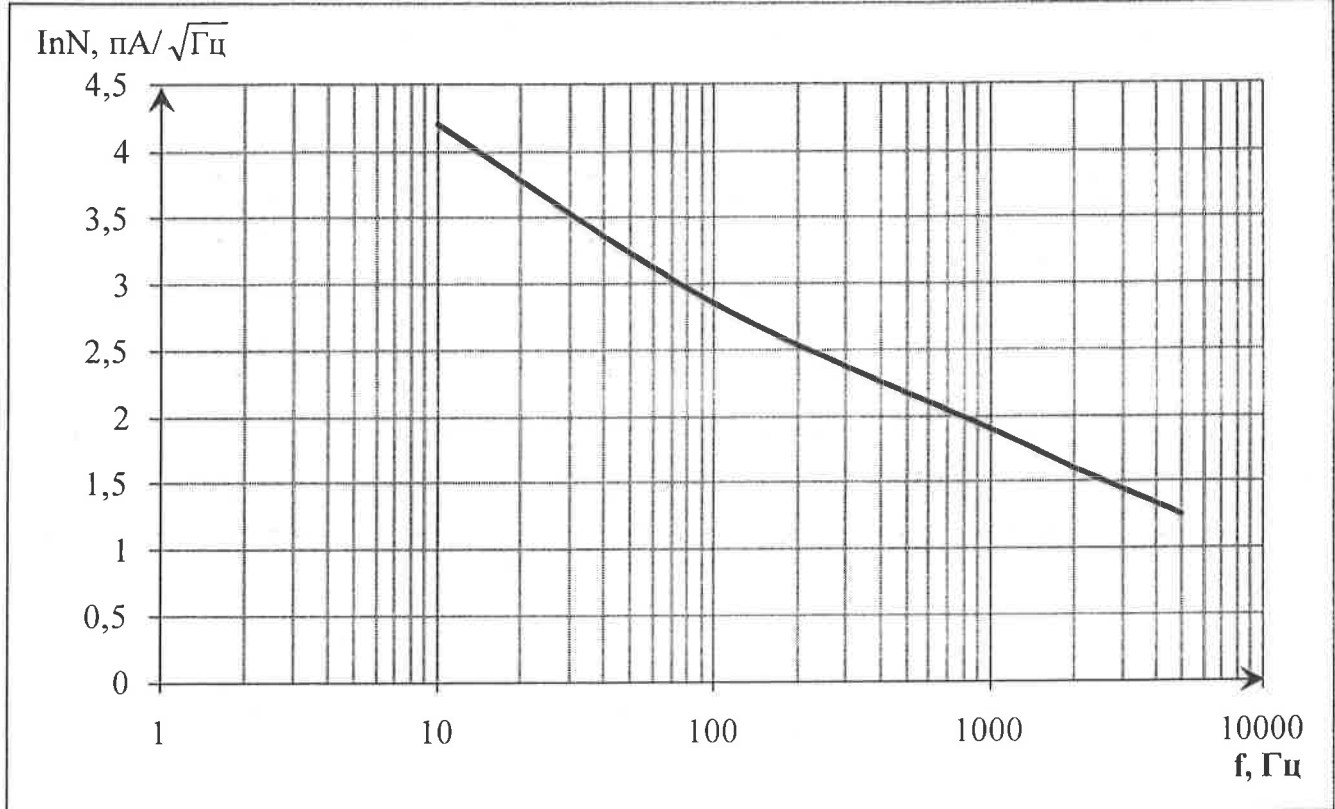


Рисунок 31 – Типовая зависимость нормированного тока шума от частоты при $U_{CC1} = 15 \text{ В}$, $U_{CC2} = -15 \text{ В}$, $R_L = 2 \text{ кОм}$, $T = 25 \text{ °С}$

Инв. № подл.	Подп. и дата	Взам. Инв. №	Инв. № дубл	Подп. и дата
108974	Сычев 15.04.13			

Изм	Лист	№ докум	Подп.	Дата

ПАКД.431136.018Д1

Лист
46

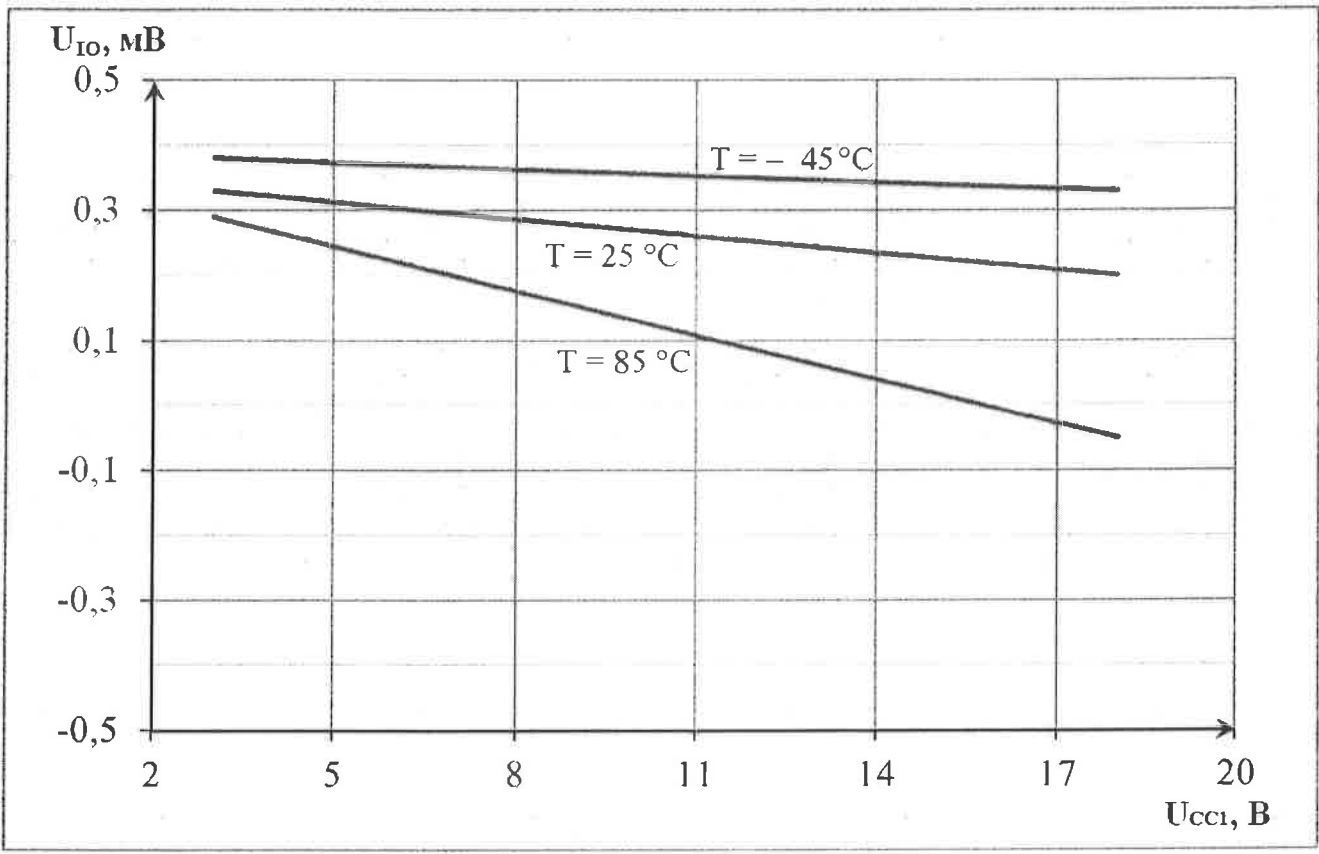


Рисунок 32 – Типовая зависимость напряжения смещения нуля от напряжения питания для различных температур окружающей среды при однополярном режиме работы микросхемы при $U_{CC2} = 0 \text{ В}$, $R_L = 2 \text{ кОм}$

Инв № подл.	108994
Подп. и дата	Журел 25.04.23
Взам. Инв. №	
Инв. № дубл	
Подп. и дата	

Изм	Лист	№ докум	Подп.	Дата

ПАКД.431136.018Д1

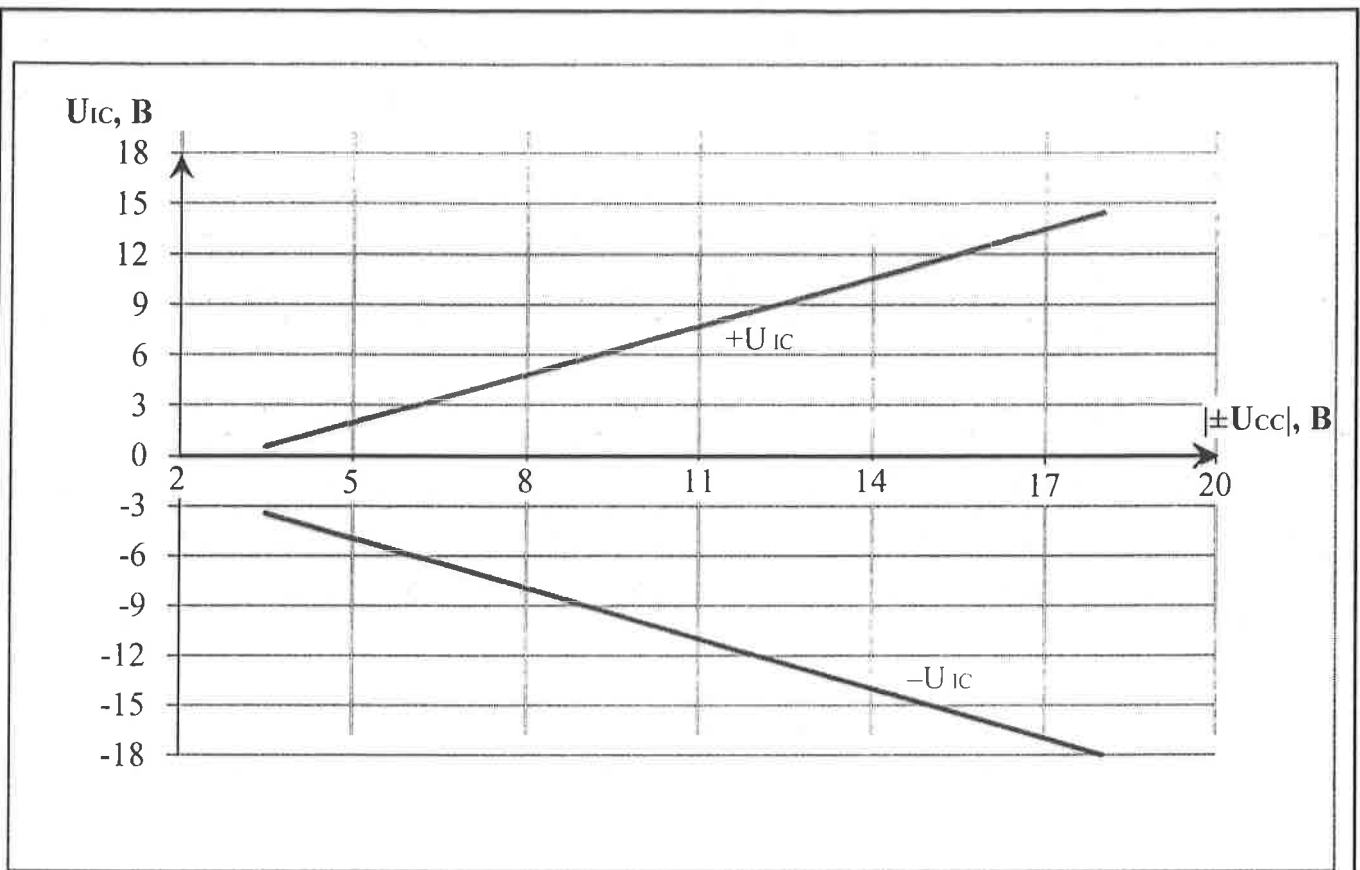


Рисунок 33 – Зависимость максимальных синфазных входных напряжений от напряжения питания при двухполярном режиме работы микросхемы, $T = 25\text{ }^{\circ}\text{C}$

Инв. № подл.	Подп. и дата	Взам. Инв. №	Инв. № дубл	Подп. и дата
108974	Бочков 25.04.23			

Изм	Лист	№ докум	Подп.	Дата

ПАКД.431136.018Д1

Лист
48

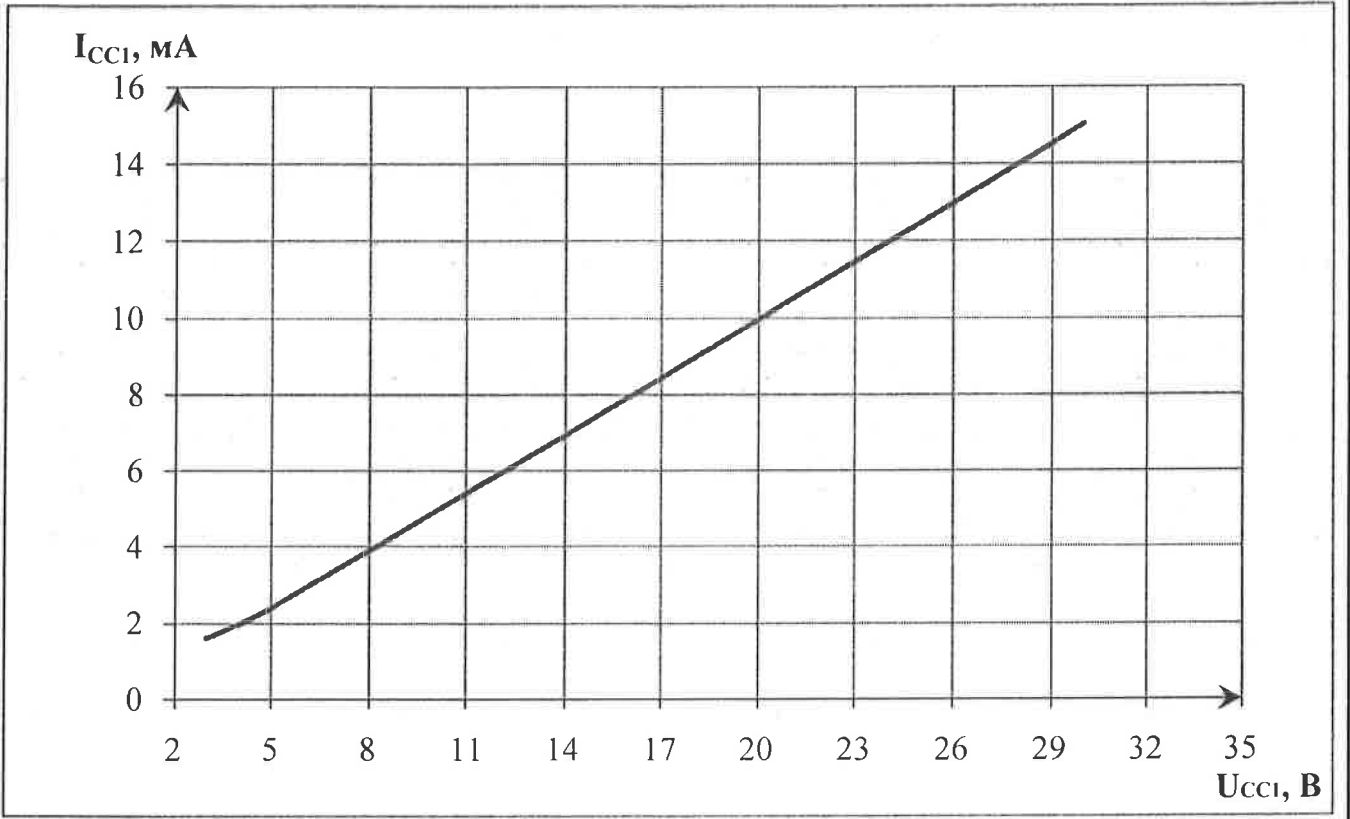


Рисунок 34 – Типовая зависимость тока потребления от напряжения питания при однополярном режиме работы микросхемы при $U_{cc2} = 0$ В, $R_L = 2$ кОм

Инв. № подл.	Подп. и дата	Взам. Инв. №	Инв. № дубл	Подп. и дата
108994	Бучацкий 20.04.23			

Изм	Лист	№ докум	Подп.	Дата

ПАКД.431136.018Д1

Лист

49

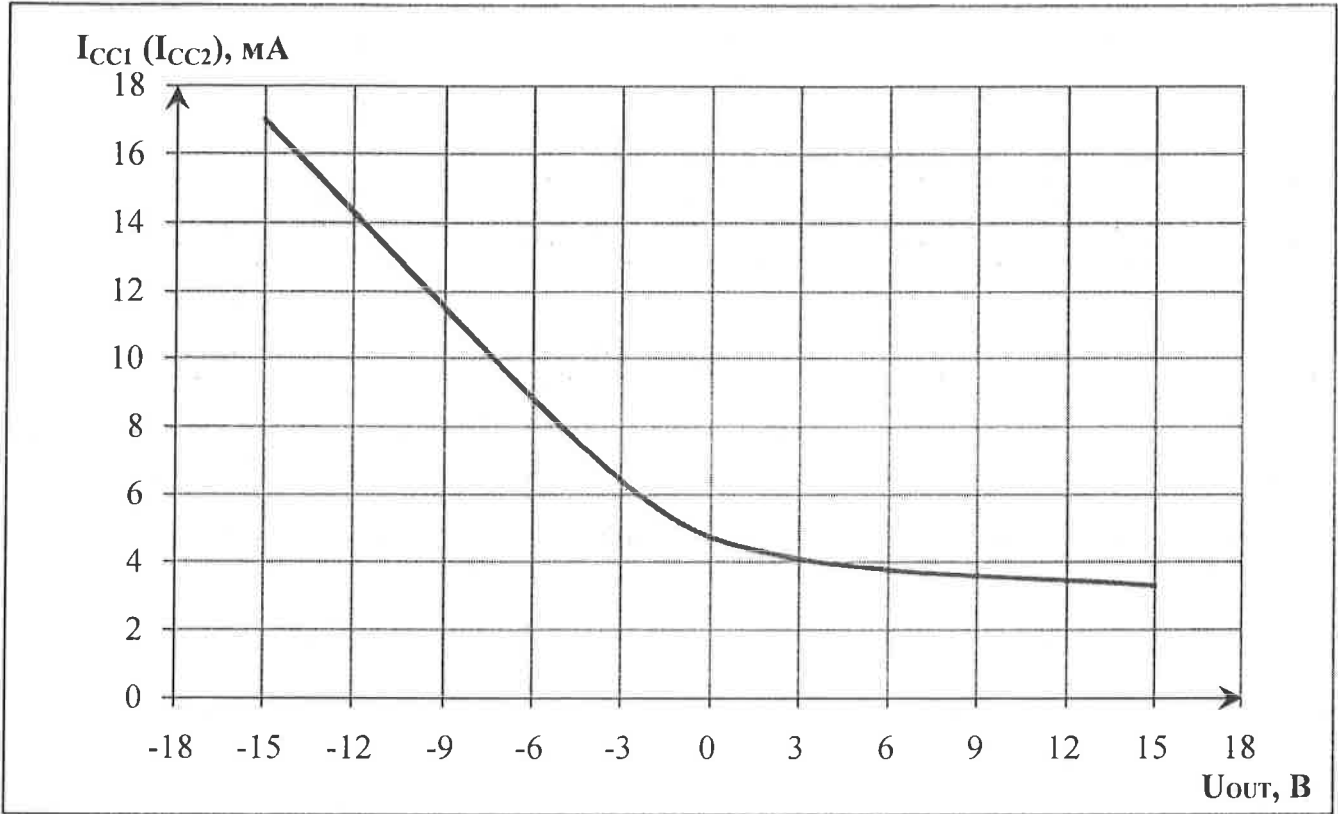


Рисунок 35 – Типовая зависимость тока потребления от выходного напряжения при $U_{CC1} = 15$ В, $U_{CC2} = -15$ В и при $R_L = 2$ кОм

Инв. № подл.	Подп. и дата	Взам. Инв. №	Инв. № дубл	Подп. и дата
208994	Буча 25.04.23			
Изм	Лист	№ докум	Подп.	Дата

ПАКД.431136.018Д1

Лист

50

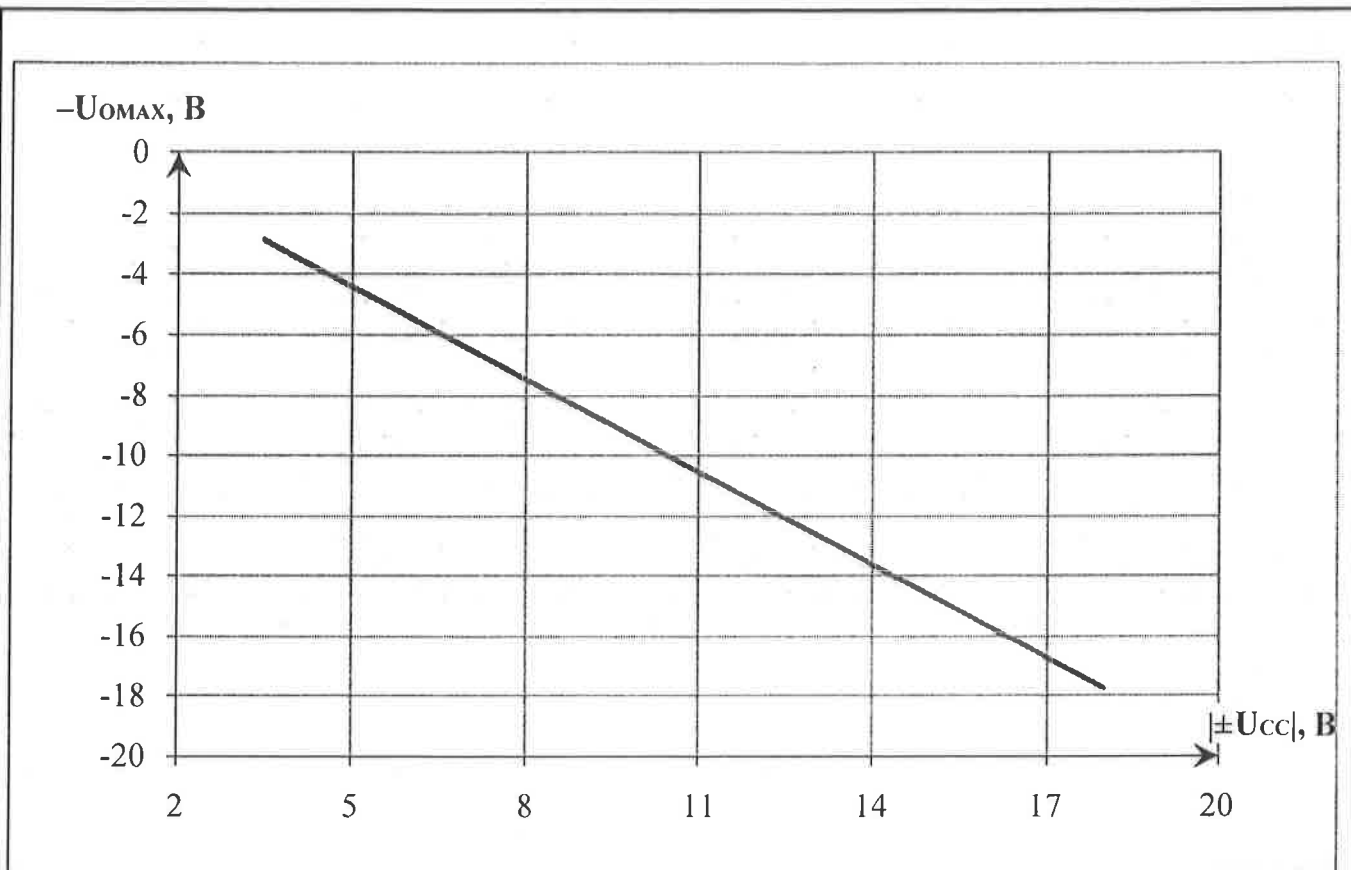


Рисунок 36 – Типовая зависимость максимального (отрицательного) выходного напряжения от напряжения питания при двухполярном режиме работы микросхемы при $R_L = 2 \text{ кОм}$

Инв. № подл.	Подп. и дата	Взам. Инв. №	Инв. № дубл	Подп. и дата
108974	Бучи 15.04.83			

Изм	Лист	№ докум	Подп.	Дата

ПАКД.431136.018Д1

Лист

51

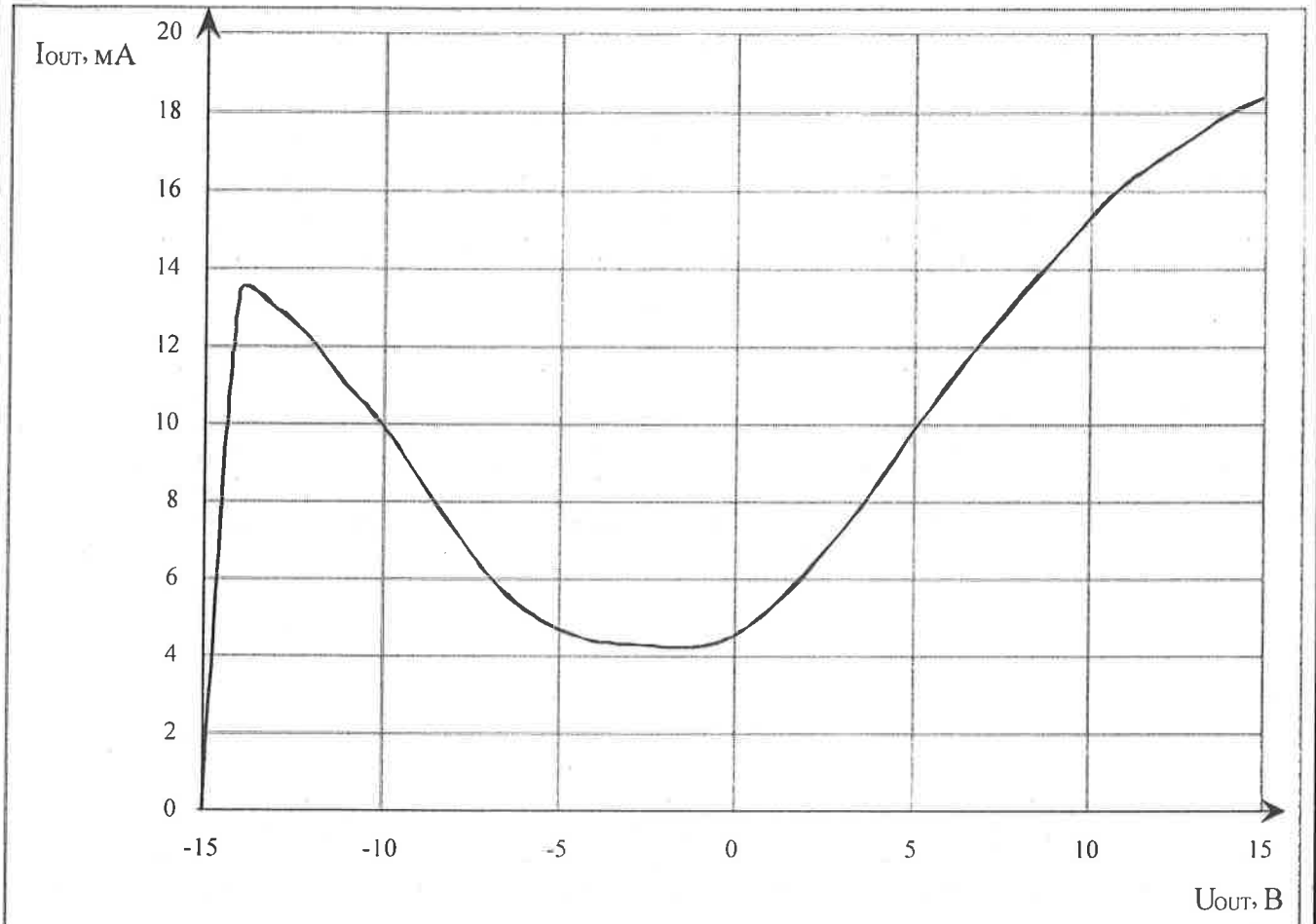


Рисунок 37 – Типовая зависимость максимального выходного тока от выходного напряжения по схеме включения неинвертирующего усилителя при $U_{CC1} = 15$ В, $U_{CC2} = -15$ В, $U_{IN} = -1$ В, $T = 25$ °С

Инв № подл.	Подп. и дата	Взам. Инв. №	Инв. № дубл	Подп. и дата
108994	Бочел 25.04.83			

Изм	Лист	№ докум	Подп.	Дата

ПАКД.431136.018Д1

Лист

52

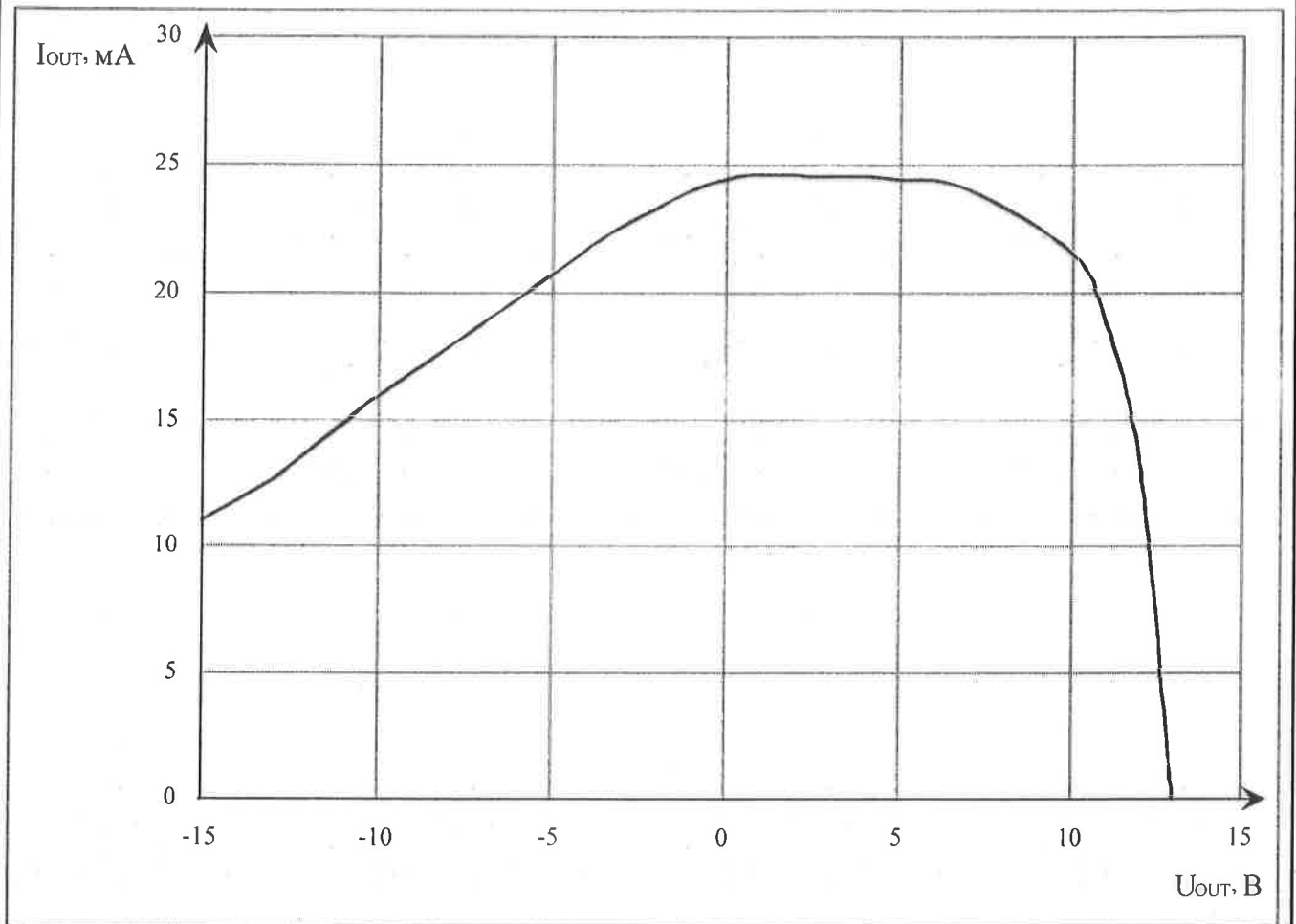


Рисунок 38 – Типовая зависимость максимального выходного тока от выходного напряжения по схеме включения неинвертирующего усилителя при $U_{CC1} = 15$ В, $U_{CC2} = -15$ В, $U_{IN} = +1$ В, $T = 25$ °С

Инв. № подл.	Подп. и дата	Взам. Инв. №	Инв. № дубл	Подп. и дата
108974	Буча 25.04.23			

Изм	Лист	№ докум	Подп.	Дата

ПАКД.431136.018Д1

Лист

53

Лист регистрации изменений

Изм.	Номера листов (страниц)				Всего листов (страниц) в докум.	Номер докум.	Входящий номер сопроводительного документа и дата	Подп.	Дата
	измененных	замененных	новых	аннулированных					

Изм. № подл.	Подп. и дата	Взам. Инв. №	Инв. № дубл	Подп. и дата
108974	Ючч/15.04.23			

Изм	Лист	№ докум	Подп.	Дата

ПАКД.431136.018Д1

Лист

54